

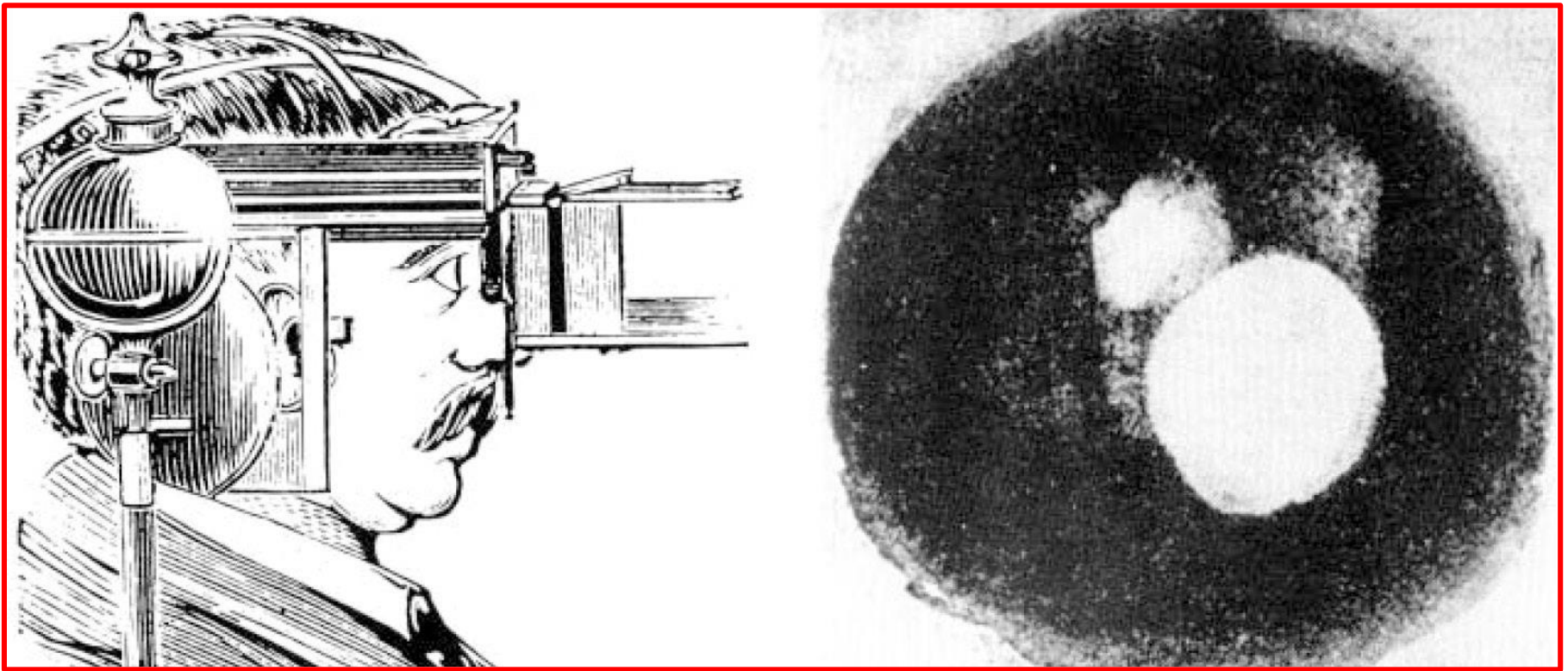
# Widefield and Ultra-Widefield in Ophthalmology



***Dawn of a New Era in Imaging  
We make it visible***



[www.amedeolucente.it](http://www.amedeolucente.it)



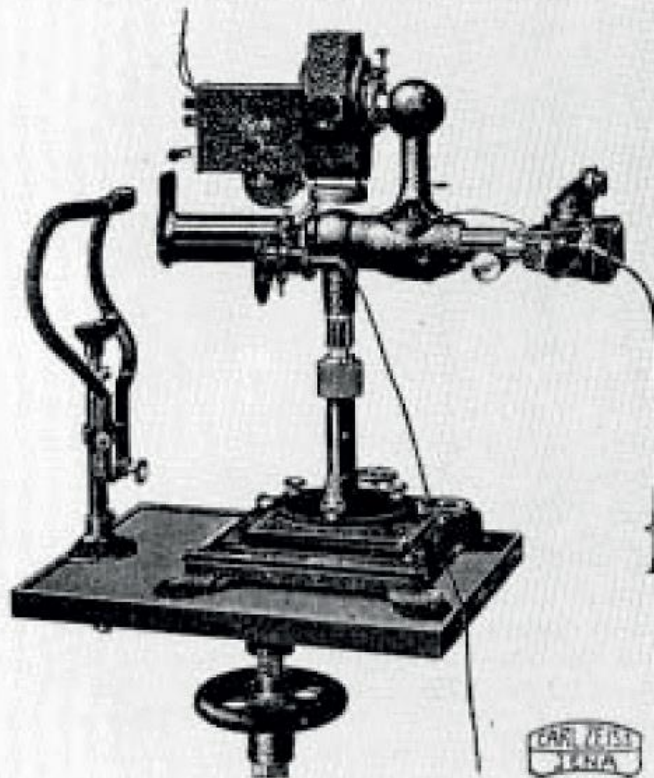
Prima fotografia del fondo oculare e della rudimentale Fundus Camera attribuita dalla maggior parte della letteratura a W.T. Jackman e J.D. Webster, nel 1886 pubblicata sul "Philadelphia Photografer"

Lucien Hove 1848/1928, US

Hermann von Helmholtz 1821/1894, Cancelliere della Fisica, Germany

Amedeo Lucente: Evoluzione della fotografia retinica e Imaging Widefield, Oftalmologia Domani Anno IX - 2018

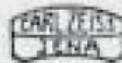




# ZEISS

Reflex free  
RETINAL CAMERA after  
NORDENSON

**A**N instrument of simple construction which can be used in any hospital or private office without special training in photographic technique. To obtain a satisfactory record of fundus condition is a matter of minutes only.

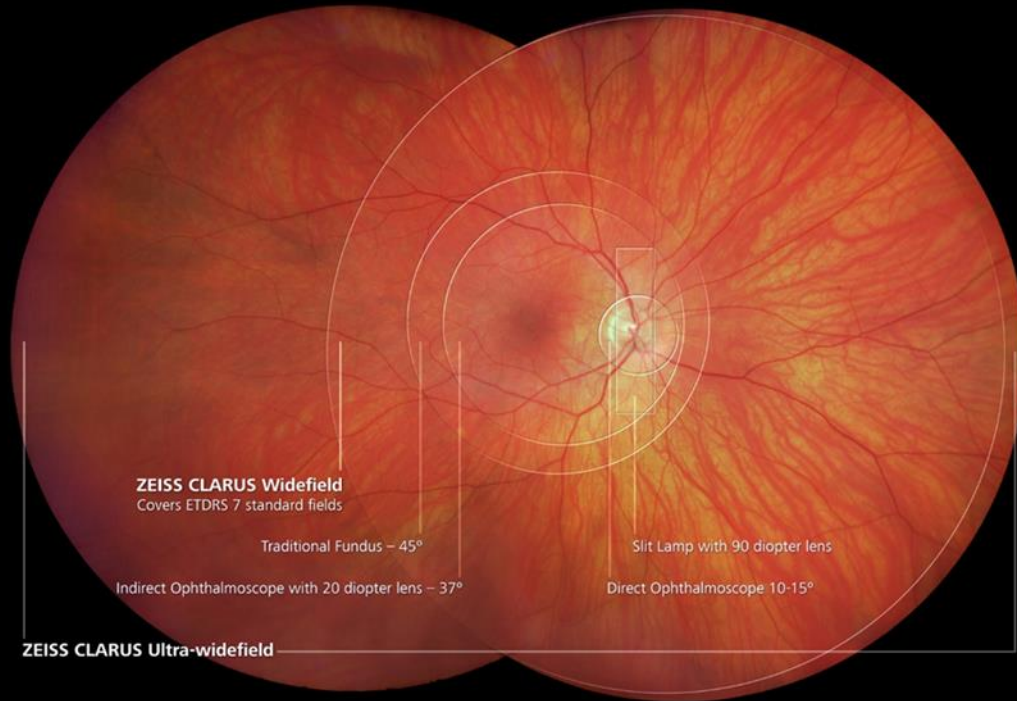


Price \$768 f.o.b. N.Y.

CARL ZEISS, Inc., 485 Fifth Ave., New York  
Pacific Coast Branch: 728 South Hill Street, Los Angeles, Calif.

Reflex free Retinal Camera Zeiss after Nordenson, Price \$ 768 f.o.b. N.Y.



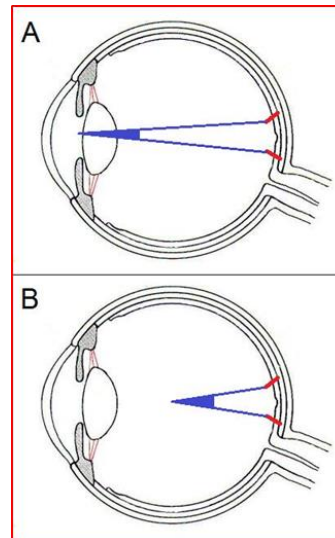
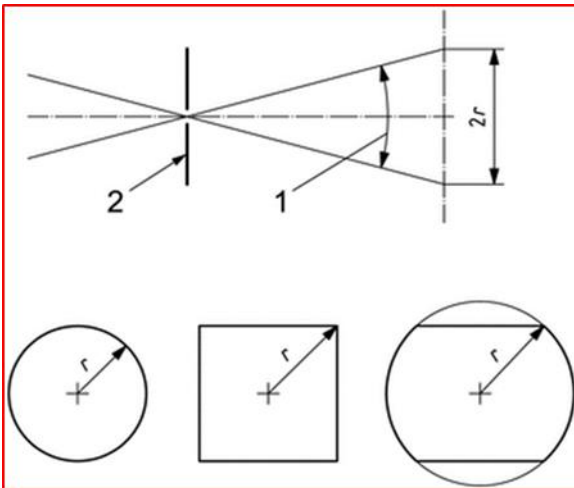


FF Retinal Camera Zeiss  
 after Nordenson Year 1930  
**Price \$ 768 f.o.b. N.Y.**  
 (free on board, New York)

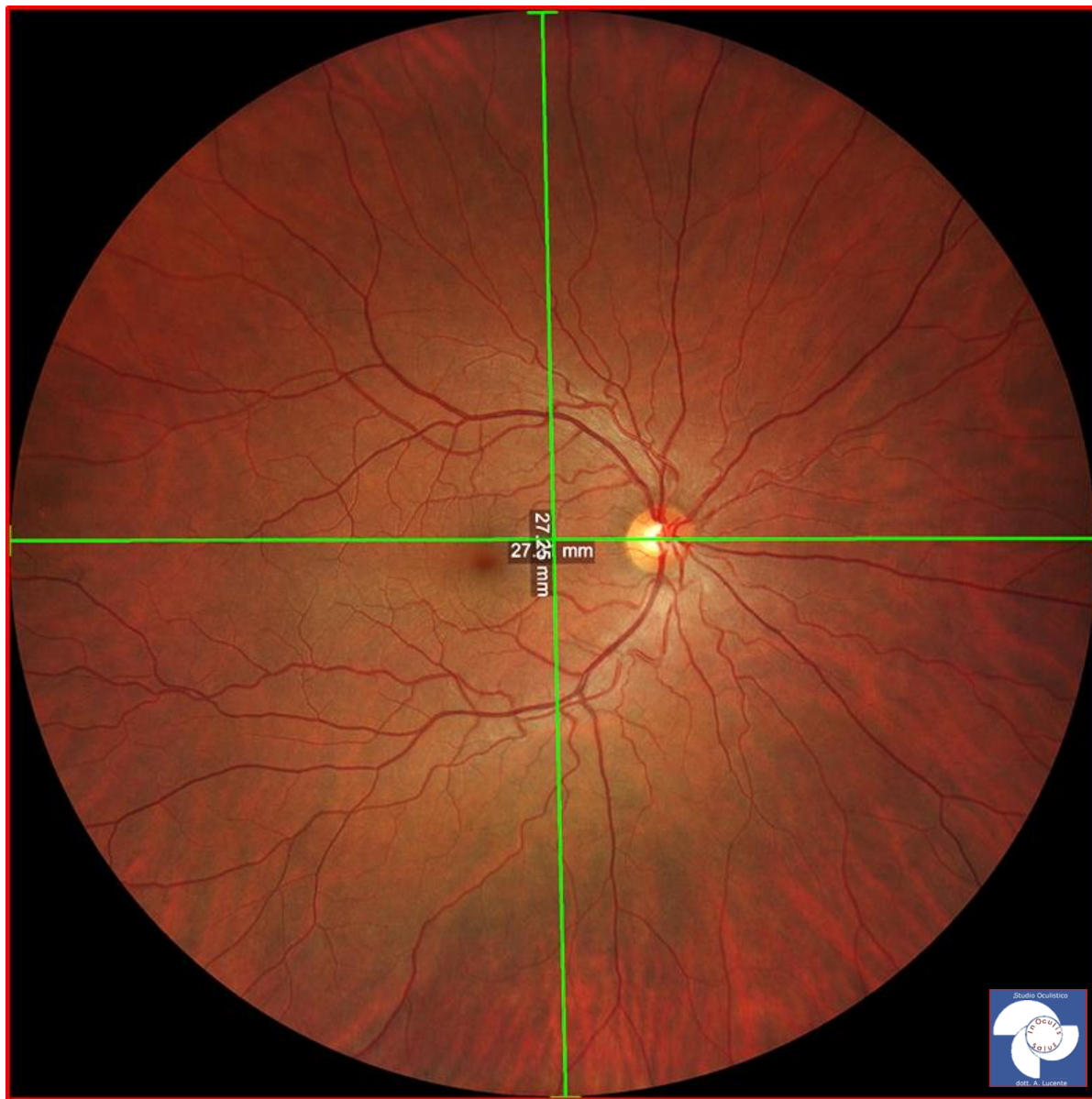
1 \$ 1930 = 76,5 \$  
 768 \$ x 76,5 \$ ~ 58.752 \$

**FoV ≥ 50° Widefield Imaging**  
**FoV ≥ 100° Ultra-Widefield Imaging**

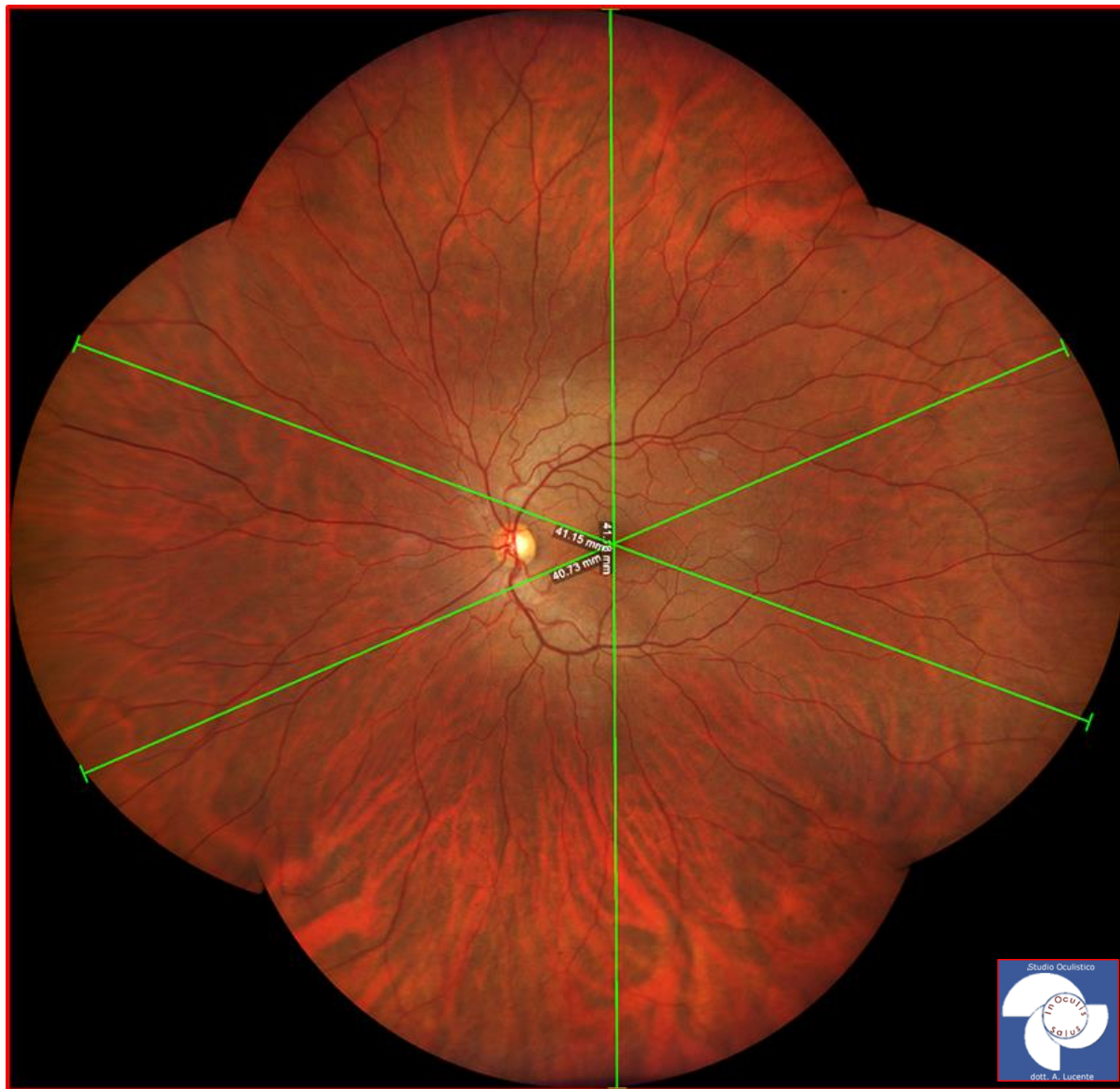
**ISO 10940 International Organization for Standardization**



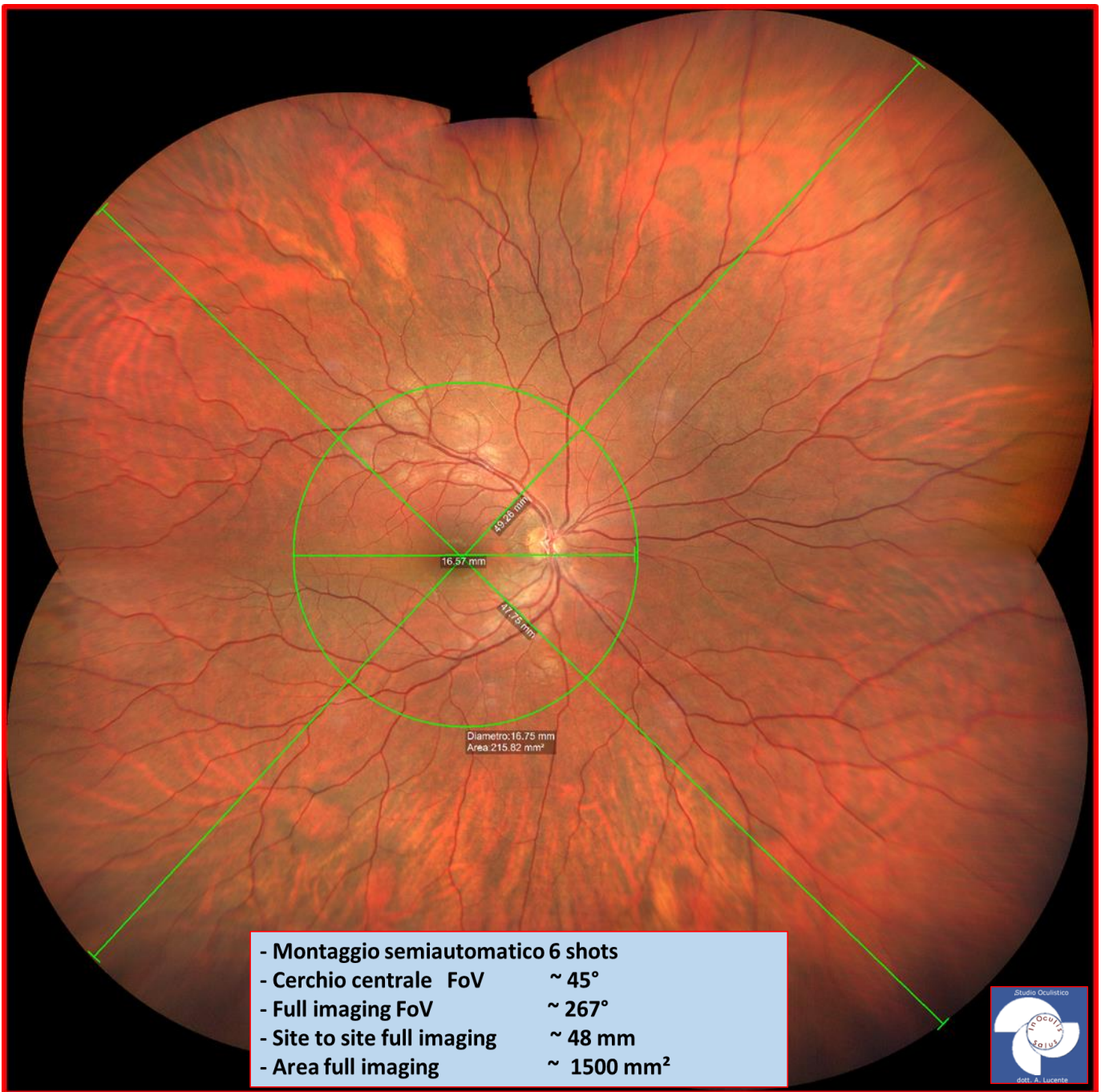




**FoV 133° x 133° (out of ISO) occhio emmetrope.**  
**One shot; lunghezza misurabile estremo/estremo**  
**SI/NT ~ 27 mm**

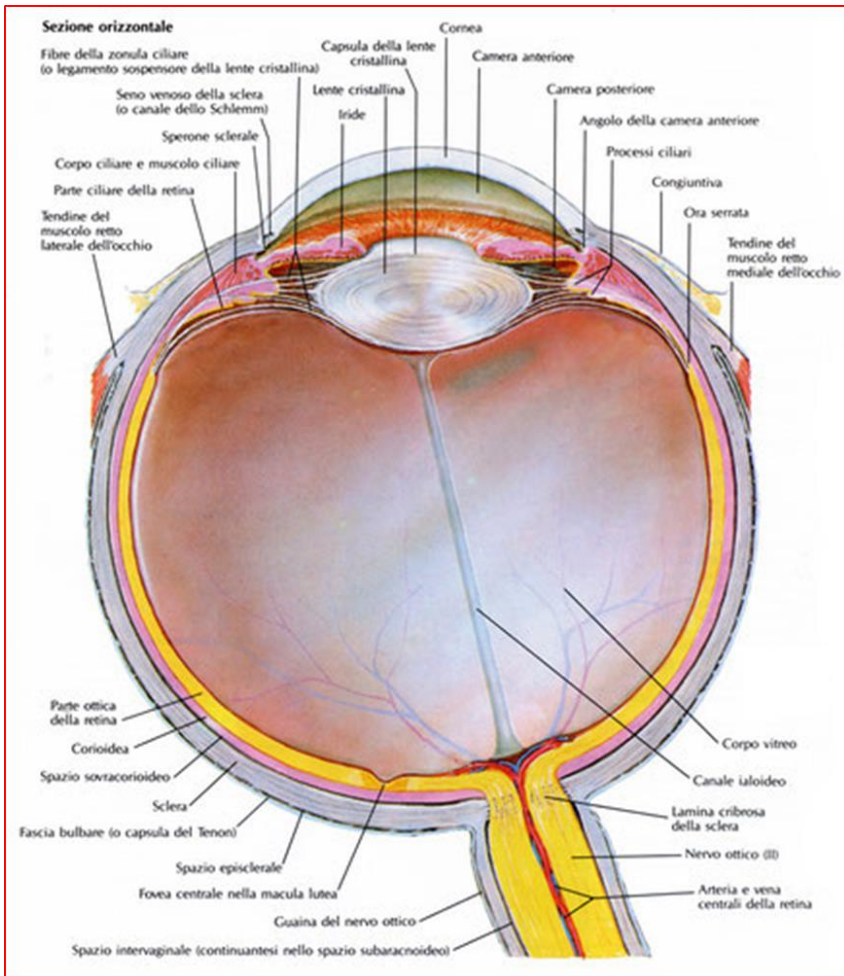
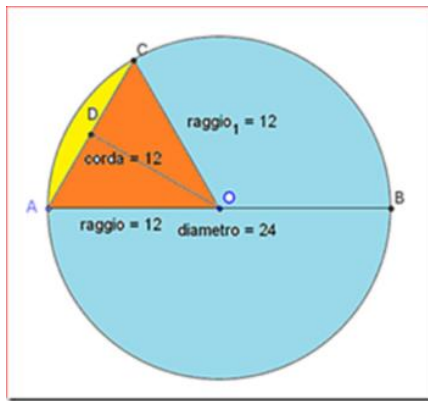


**FoV 200° wide by 200° tall (out of ISO) occhio emmetrope.**  
**Four shots** montaggio automatico; lunghezza misurabile  
estremo/estremo ~ **41 mm**



- Montaggio semiautomatico 6 shots
- Cerchio centrale FoV ~ 45°
- Full imaging FoV ~ 267°
- Site to site full imaging ~ 48 mm
- Area full imaging ~ 1500 mm<sup>2</sup>





<b>Diametro antero-posteriore</b>	<b>~ 24 mm</b>
<b>Circonferenza ~ <math>2 \pi r = 2 \times 3,14 \times 12</math></b>	<b>~ 75,36 mm</b>
<b>Corpo Ciliare</b>	<b>~ 6 mm</b>
<b>Bianco /bianco</b>	<b>~ 12 mm</b>
<b>Arco corneale sotteso a 12 mm</b>	
<b>~ <math>1/6</math> circonferenza (<math>75,36 : 6 = 12,56</math>)</b>	<b>~ 12,56 mm</b>
<b>Ora serrata/ora serrata ~ <math>12,56 + (6 \times 2)</math></b>	<b>~ 24,56 mm</b>
<b>Ora serrata/ora serrata internamente</b>	
<b><math>75,36 - [12,56 + (6 + 6)]</math></b>	<b>~ 50,8 mm</b>
<b>Angolo goniometrico settore circolare</b>	
<b>~ <math>24,56</math> mm (<math>75,36 : 360 = 24,56 : x ; x \sim 117,32</math>)</b>	<b>~ <math>117,32^\circ</math></b>
<b>Fotografia con FoV di <math>180^\circ</math></b>	
<b>copre un'emicirconferenza (<math>75,36/2</math>)</b>	<b>~ 37,68 mm</b>
<b>Area retinica sfera con raggio 12 mm</b>	
<b><math>= 4 \pi r^2 = 4 \times 3,14 \times 12^2</math></b>	<b>~ 1808 mm<sup>2</sup></b>
<b>Area dell'emisfera = <math>\frac{1}{2}</math> di 1808 mm<sup>2</sup></b>	<b>~ 904 mm<sup>2</sup></b>

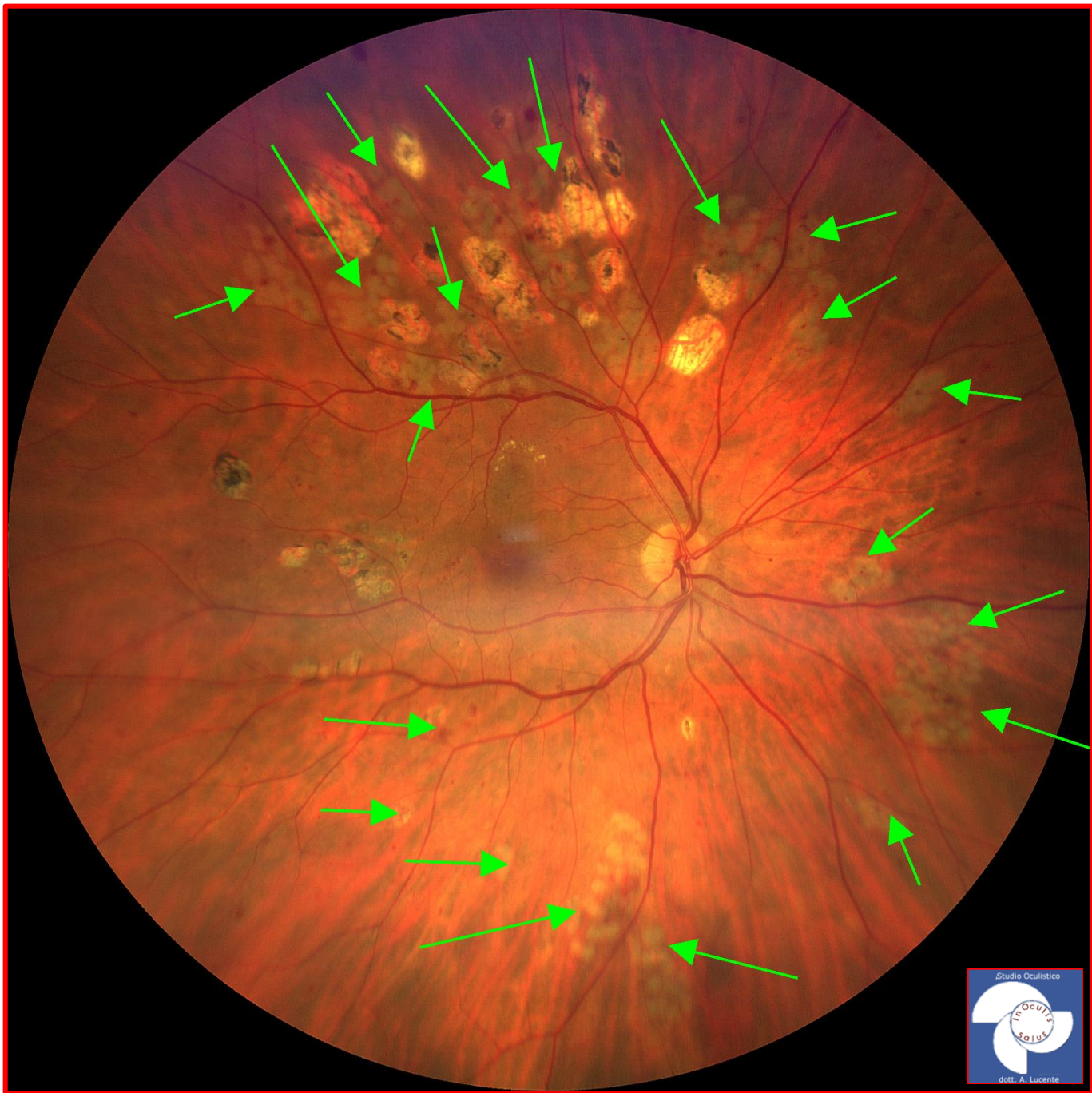
Testut, Zaccheo, Bonnet, Orzalesi, le dimensioni del bulbo oculare umano sono:  
 diametro trasverso 23,5 mm  
 diametro verticale 23 mm  
 diametro antero-posteriore 25-26 mm  
 Forma ricalca un ellissoide triassiale



# **>>>Clinical Cases.....**

***.....Enter the New Era of Retinal Care by Zeiss***







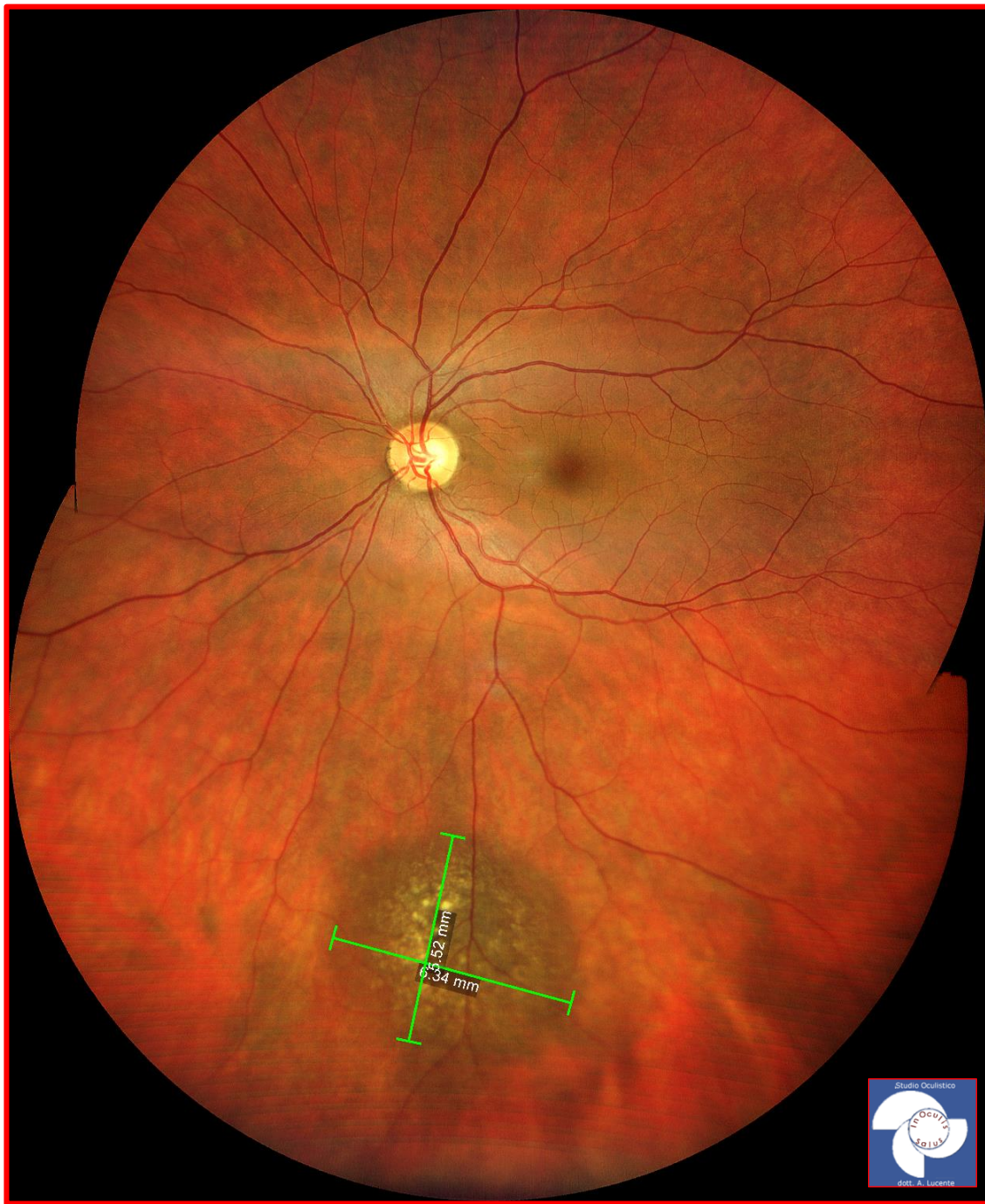


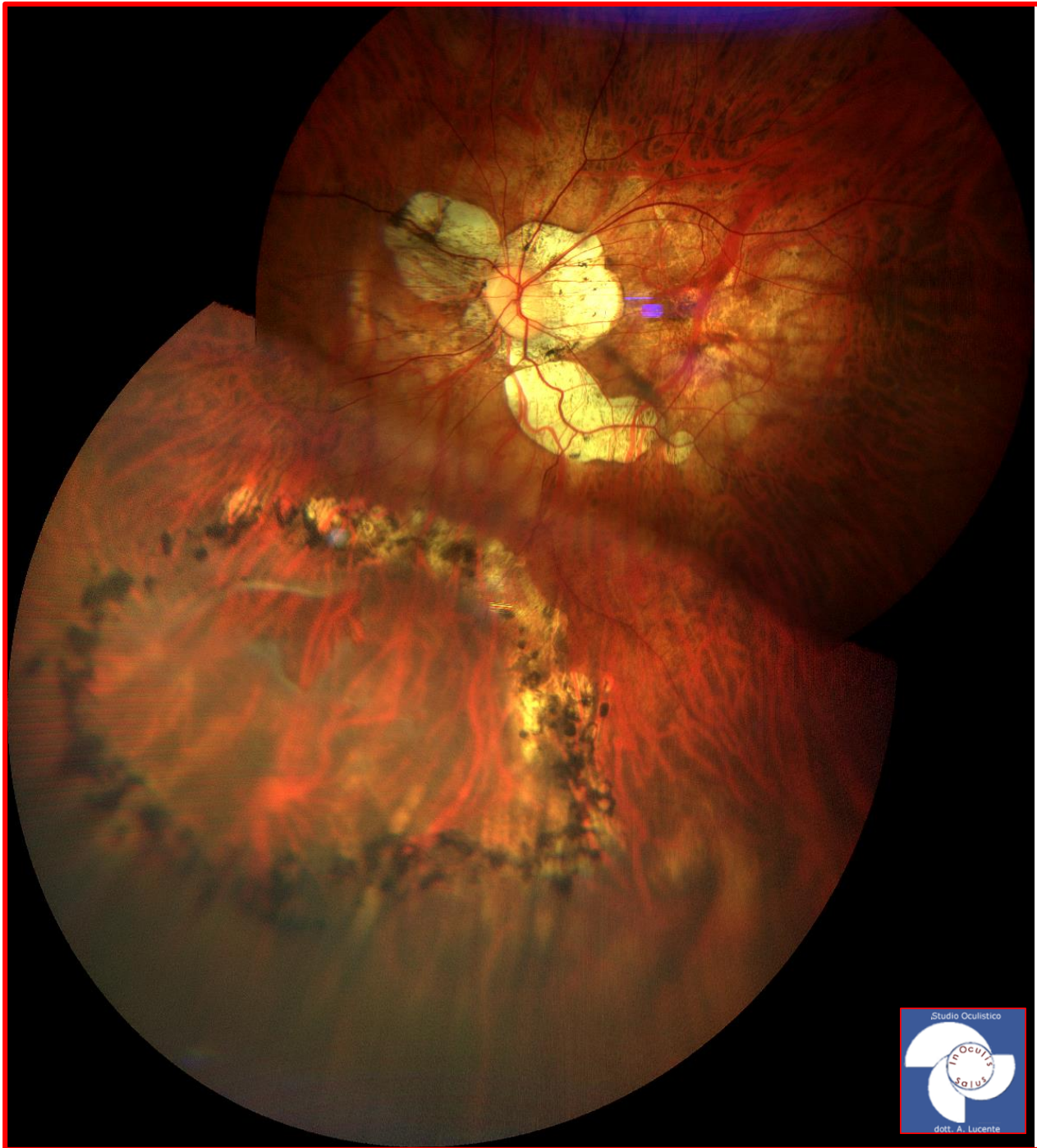












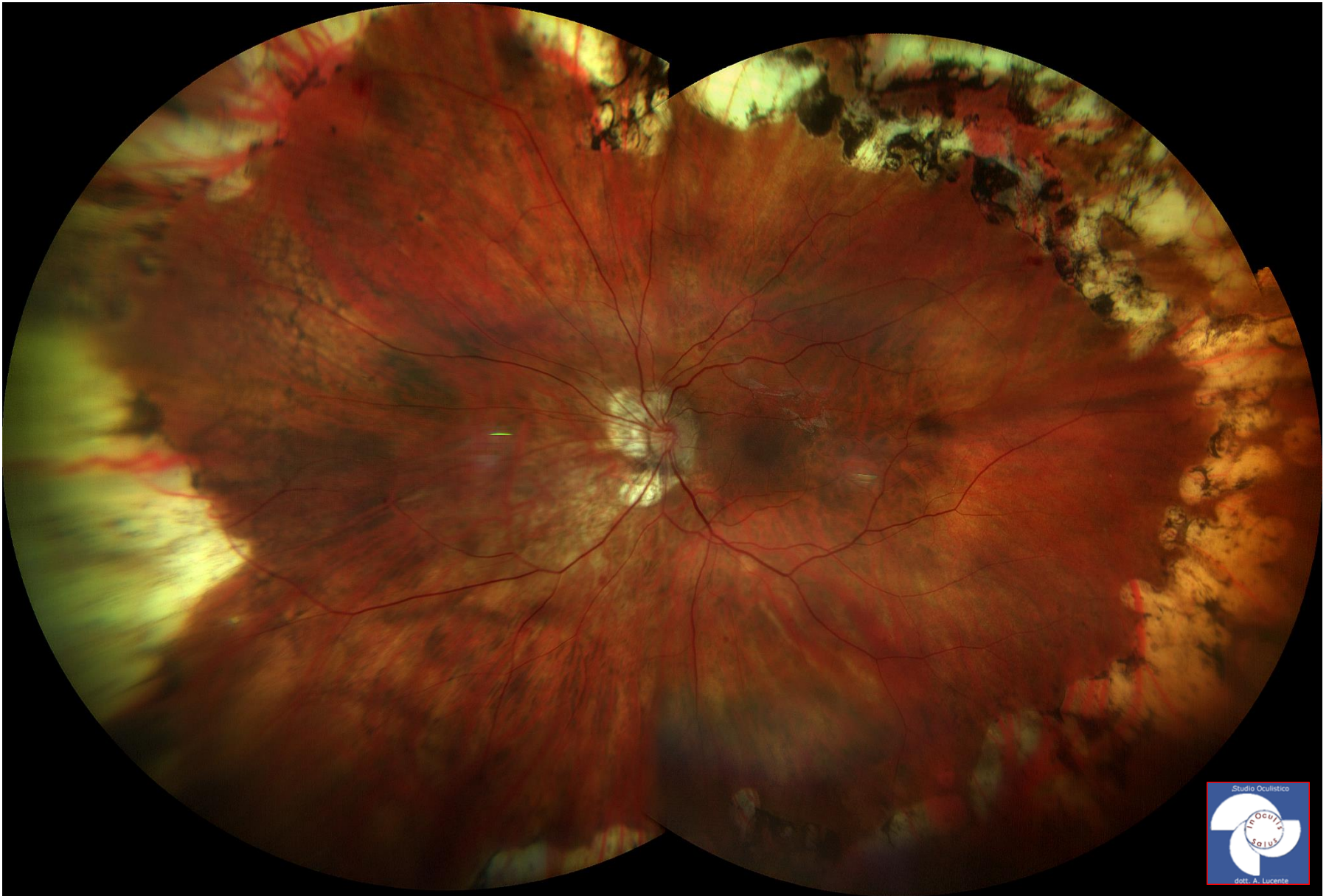










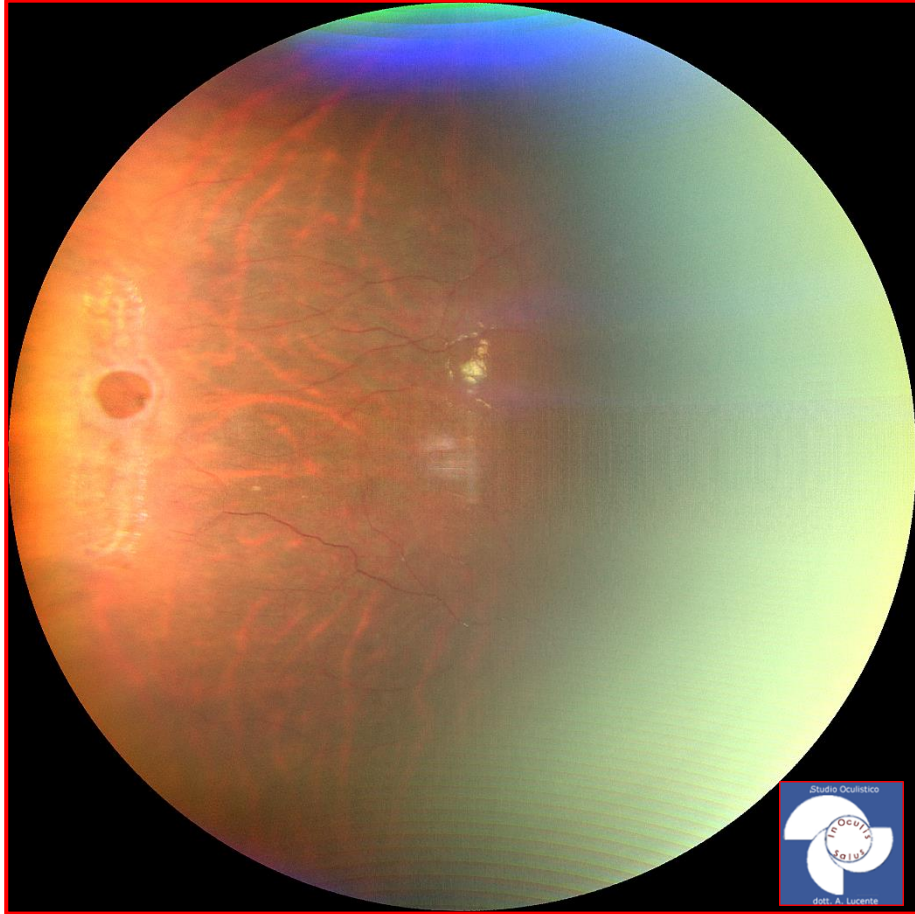
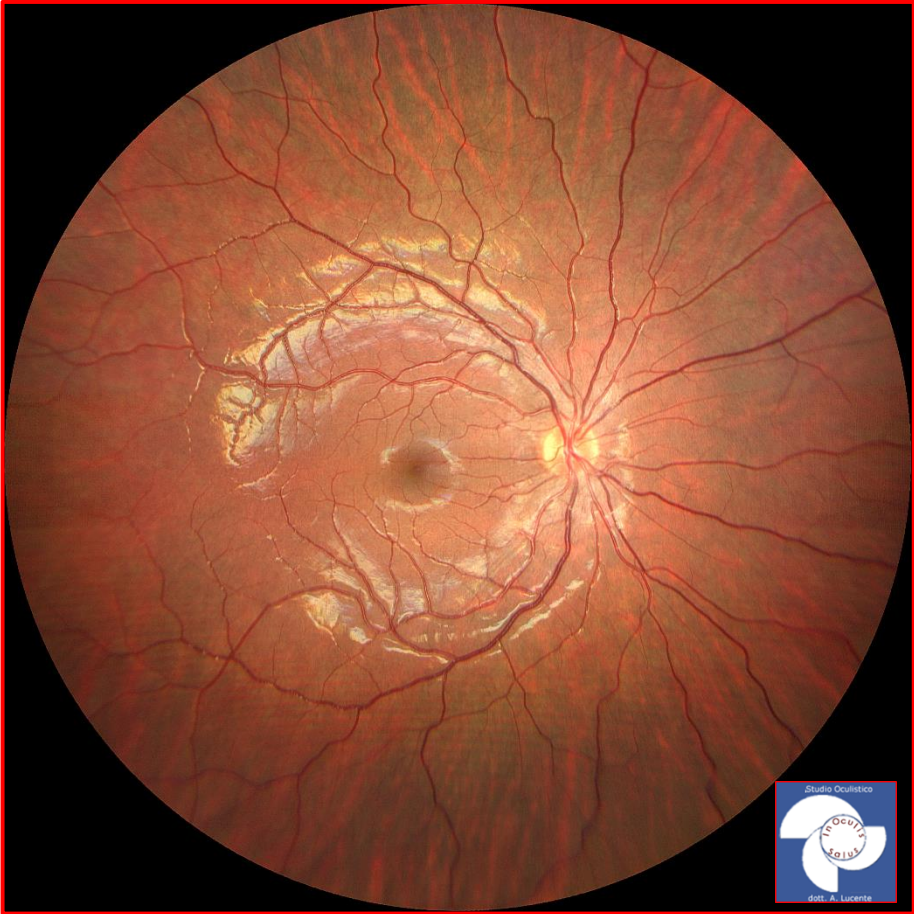






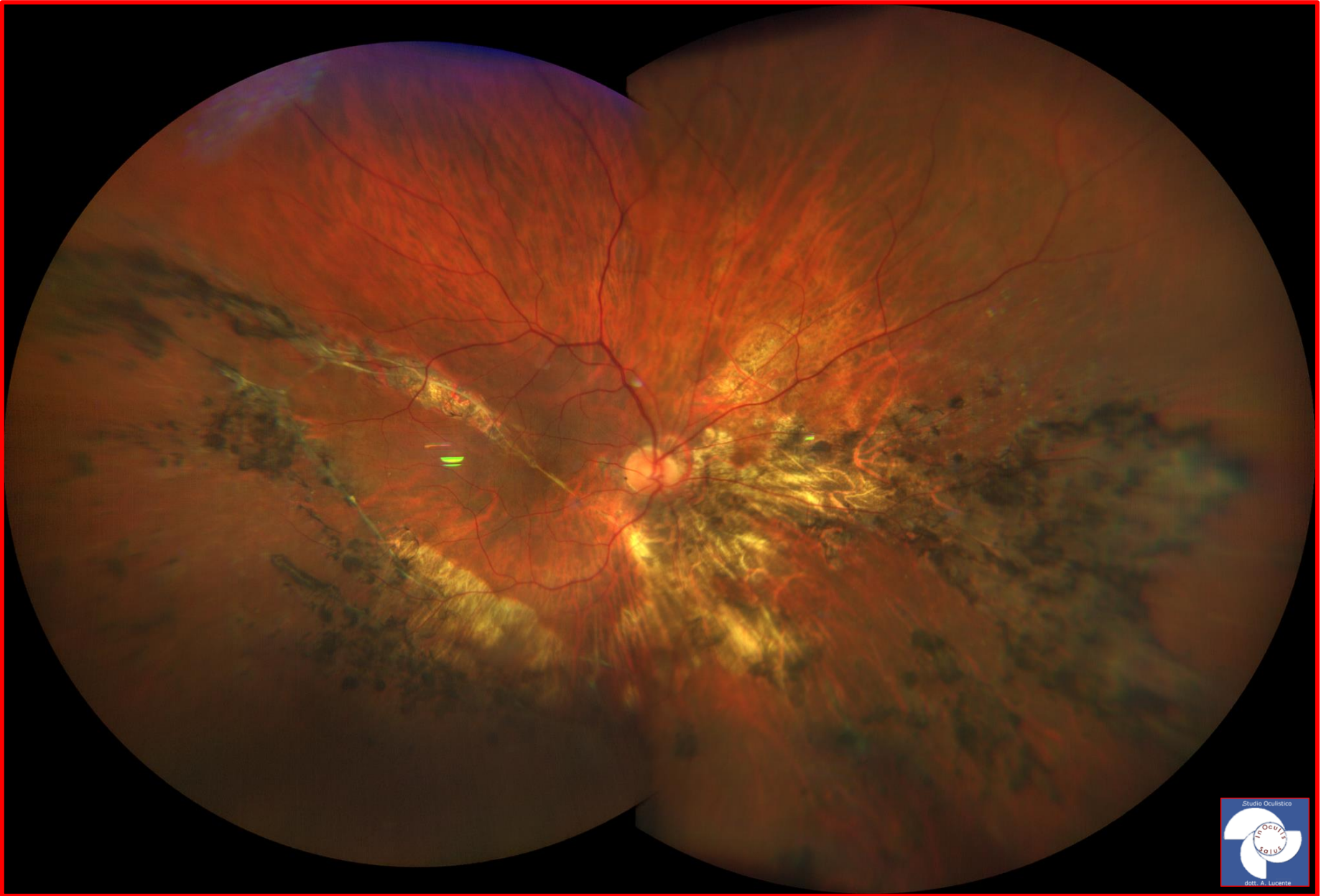
Calabria  
Scoprire

















## A Method of Photographing Fluorescence in Circulating Blood in the Human Retina

By HAROLD R. NOVOTNY, B.S., AND DAVID L. ALVIS, M.D.

**T**HE PHYSIOPATHOLOGY of the retinal vasculature would be better understood if more were known about blood flow in these vessels. Because of the unique quality of transparency in the eye, methods depending on direct observation of the retinal vessels seem especially inviting. Already reported by various authors are techniques for

exciting wave length was 520 mμ, in the green. Kodak wratten filters no. 47 and no. 58, combined with a 3-mm. layer of 0.25 M copper sulfate, were accordingly inserted into the optical system (figs. 1 and 2) at appropriate points.

In order to modify the activating light, the blue no. 47 filter was placed in the path of the beam from the electronic flash and from the incandescent viewing source. This made it possible to see, as well as to photograph, the fluorescence

*Image shows at the Fovea:*

2.0 x 2.0 mm (A)

3.0 x 3.0 mm (B)

6.0 x 6.0 mm (C)

8.0 x 8.0 mm (D)

**12 x 12 mm 12 x 16 mm**

*Images at the Optic Nerve:*

3.0 x 3.0 mm (E)

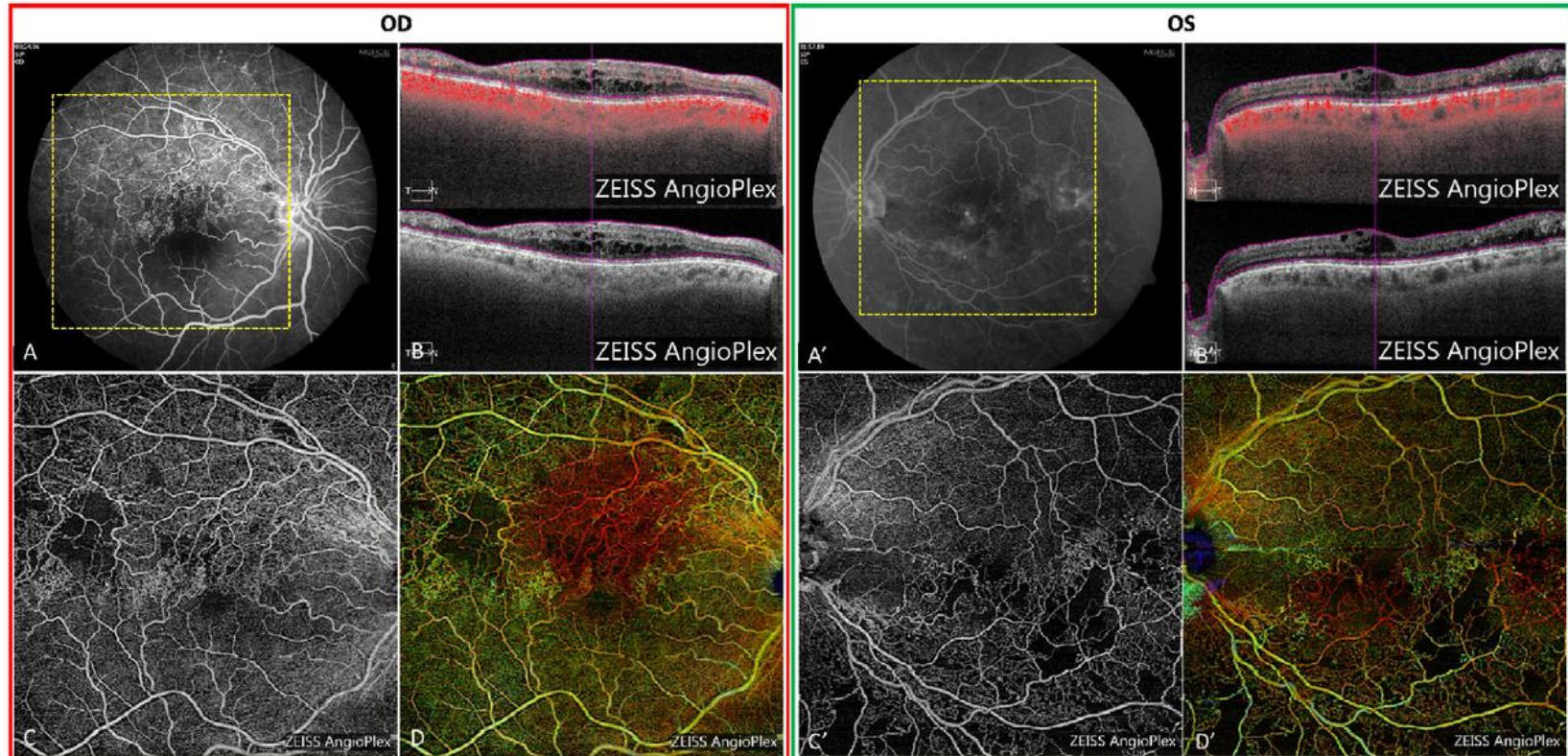
6.0 x 6.0 mm (F)

**8.0 x 8.0 mm**


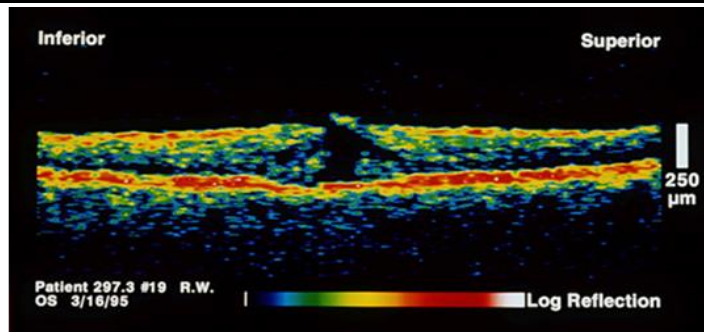

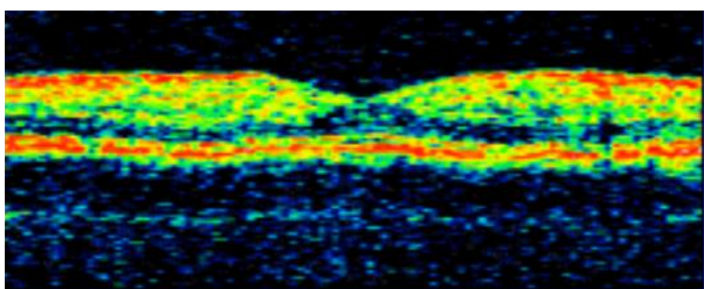

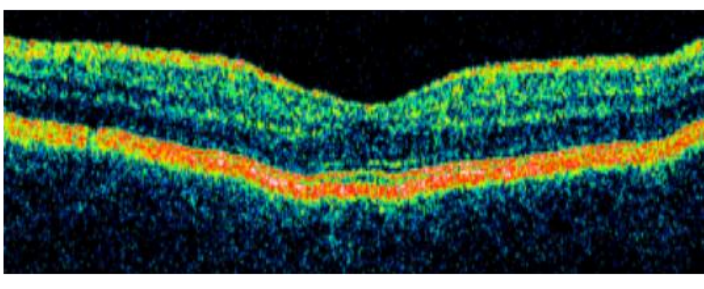

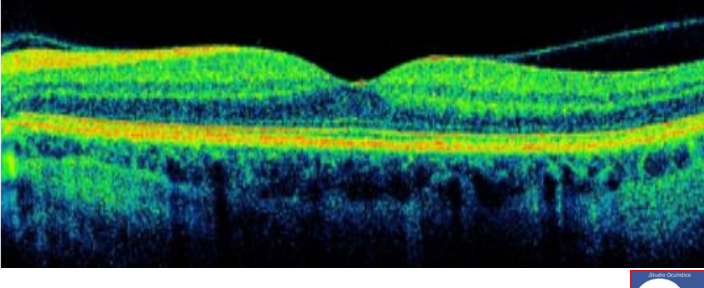


H. Novotny and D. Alvis; Circulation 1961

**The first fluorescein angiogram taken in November 1959, of the right eye of David Alvis with Harold R. Novotny**





Model Image	Year Units Installed	Single line Scan	Scans Sec	Resolution (microns)	B Scan
	<p>OCT 1995</p> <p>200/99</p>	<p>100 A-scans x 500 points</p>	<p>100</p>	<p>20</p>	
	<p>OCT2 2000</p> <p>400/2002</p>	<p>100 A-scans x 500 points</p>	<p>100</p>	<p>20</p>	
	<p>OCT3 Stratus 2002</p> <p>6000/2006</p>	<p>512 A-scans x1024 points</p>	<p>500</p>	<p>10</p>	
	<p>Cirrus HD-OCT 2007</p> <p>10000/2012</p>	<p>4096 A-scans x 1024 points</p>	<p>27,000</p>	<p>5</p>	





# Foreword: 25 Years of Optical Coherence Tomography

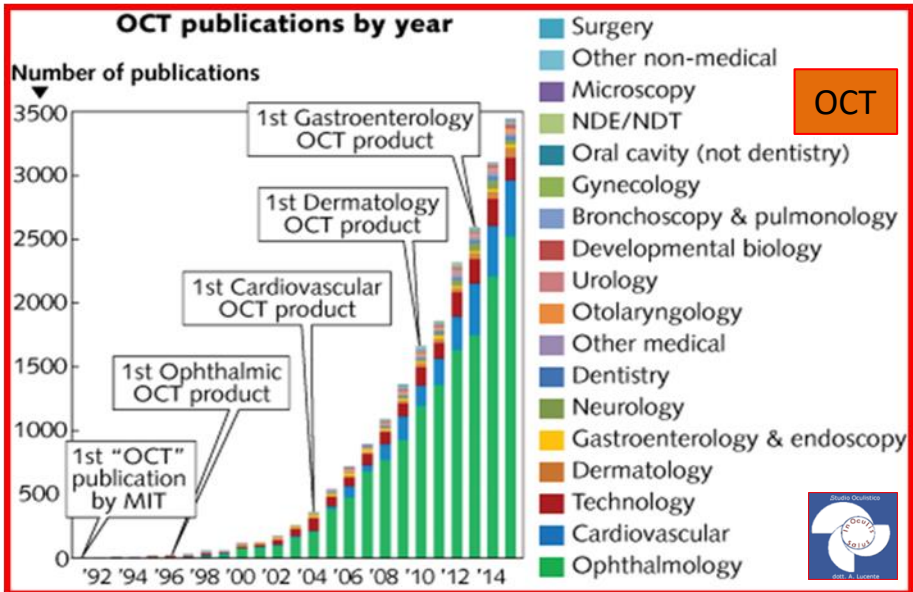
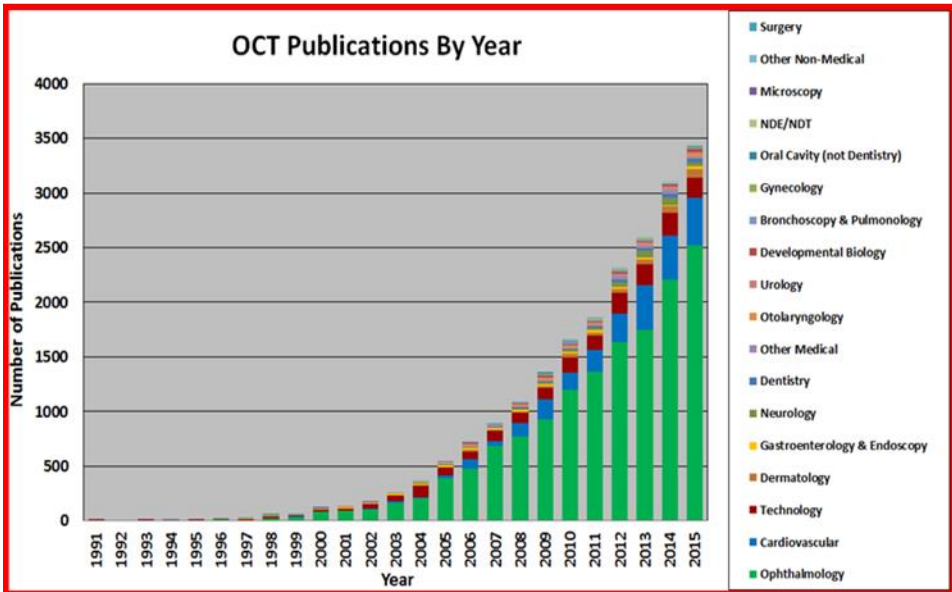
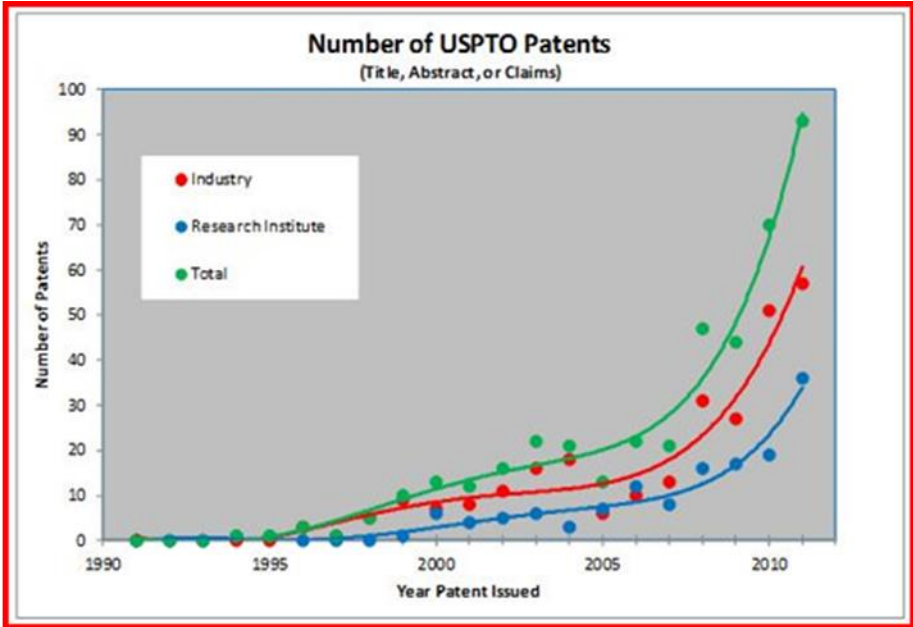
by: James Fujimoto and David Huang

9 12

**1B\$ = 10 ≠ 1B€ = 10**  
**Scale metriche ≠ dal 1974**

The market is just over \$1B in 2012, and it is expected to grow by 18–30% per year for the foreseeable future

±50.000 OCT/AngioOCT  
 ±250.000 Ophthalmologists



OCT





- 55,9% Zeiss **OCT**
- 35,6% Heidelberg By Mark Hillen
- 6,4% Topcon
- 2,1% Nidek

- Zeiss →AngioPlex Cirrus 5000
- Optovue→RTvue Avanti AngioVue
- Topcon→DRI OCT Triton
- Heidelberg→Spectralis con modulo OCT2
- Nidek→RS-3000 Advance OCT Angio-Scan
- Canon →OCT-HS100 Angio-eXpertcon modulo AX (Gruppo Haag-Streit)

- HD-Cirrus Zeiss68.000 A-Scan/Sec →OMAGc (Optical Microangiography complex)
- RTvue Avanti Optovue70.000A-Scan/Sec →SSADA (Split Spectrum Amplitude Decorrelation Angiography)
- SS OCT DRI OCT Topcon100.000A-Scan/Sec →OCTARA (OCT Angiography Ratio Analysis)
- Spectralis Heidelberg70.000 A-Scan/Sec →Full SADA (Spectrum Amplitude Decorrelation Algorithm)



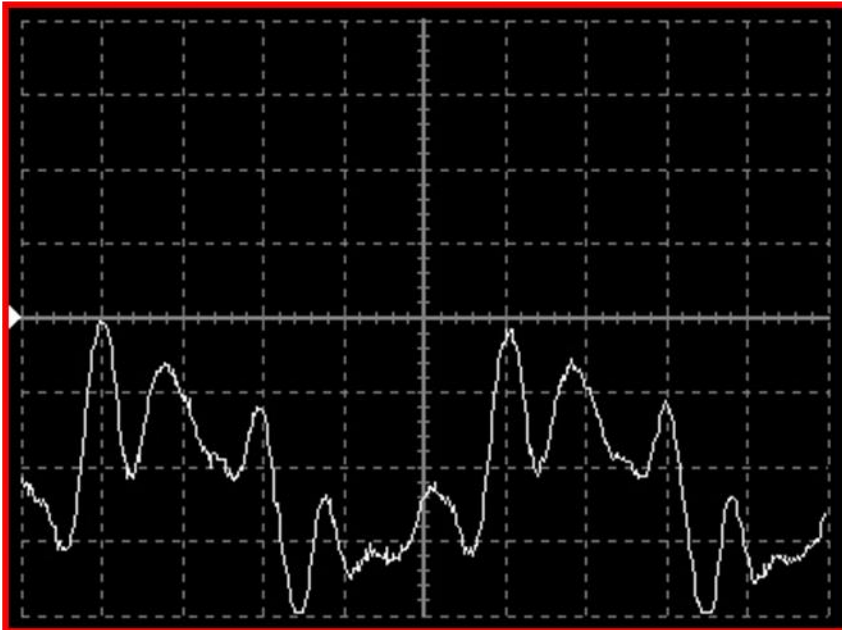
## Dawn of a New Era in Imaging

**$x(t)$  vs  $X(f)$**

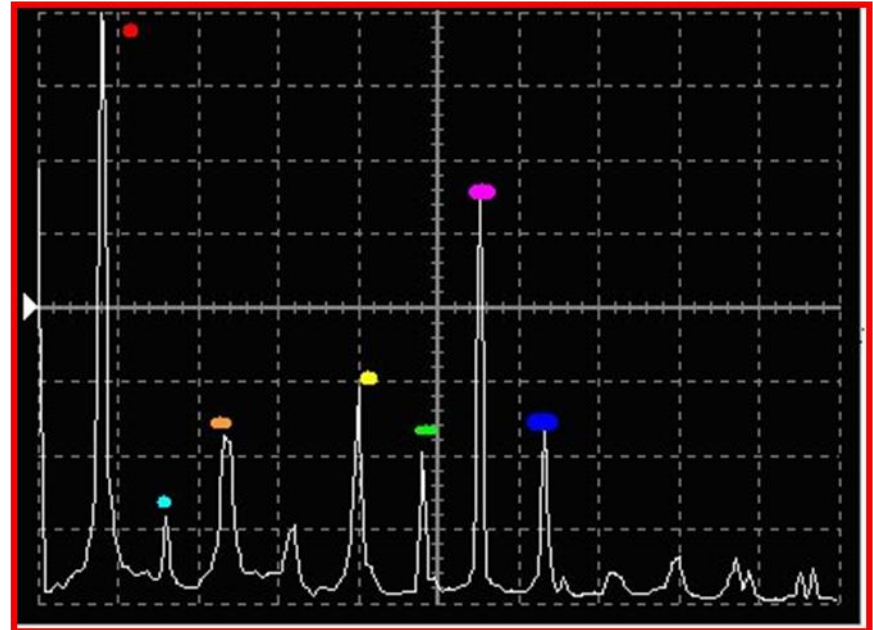
$$X(f) = \int_{-\infty}^{+\infty} x(t) \cdot e^{-j2\pi f t} dt$$

$$x(t) = \int_{-\infty}^{+\infty} X(f) \cdot e^{+j2\pi f t} df$$

## Trasformata e Antitrasformata di Fourier



Nota musicale «la» di un clarinetto registrata tramite oscilloscopio nel dominio del tempo  **$x(t)$**



Nota musicale «la» di un clarinetto scomposta in sotto-onde nel dominio delle frequenze  **$X(f)$**

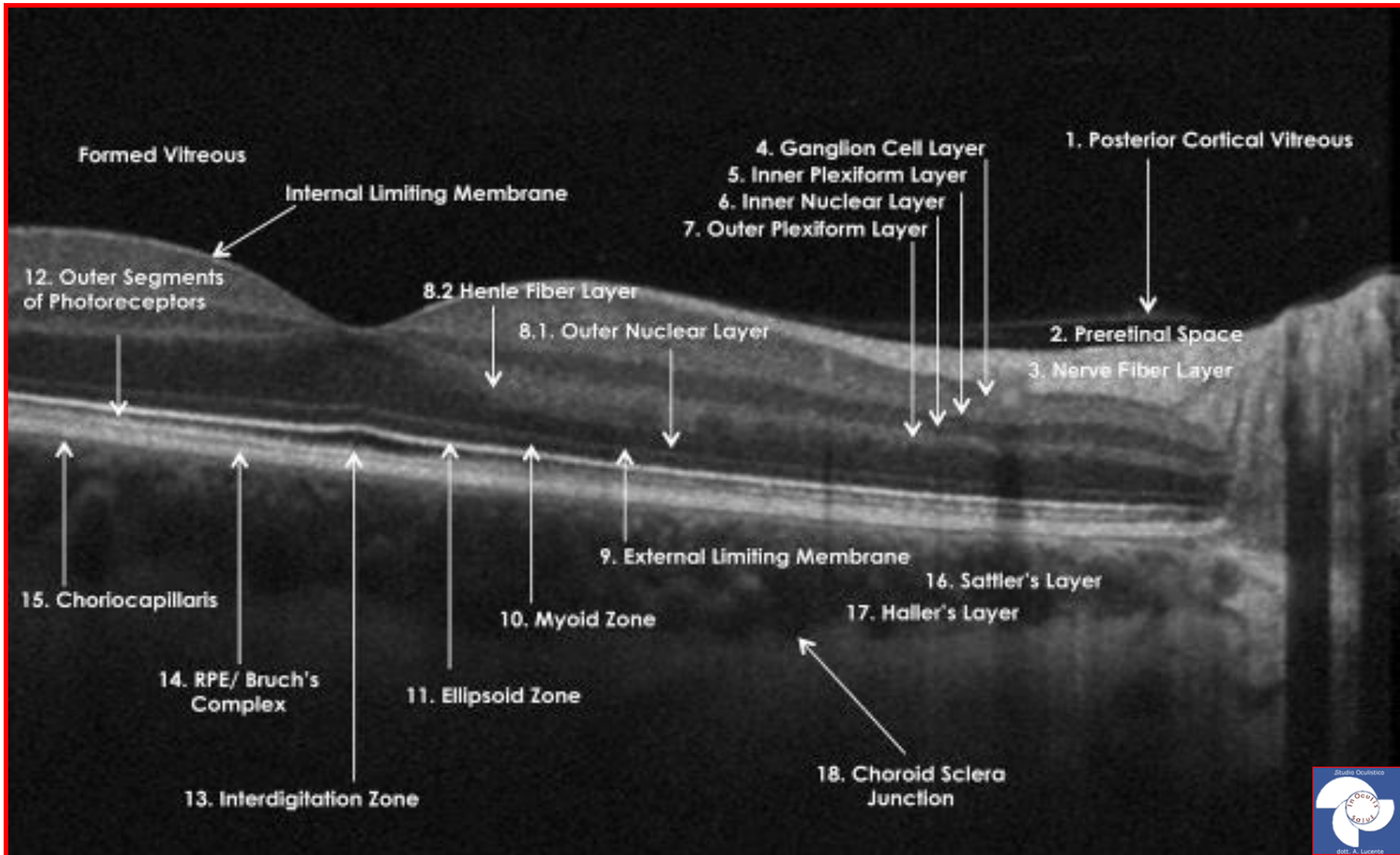






# International Nomenclature OCT (INOCT) 2014

By: Staurenghi G, Sadda S, Chakravarthy U, Spaide RF; International Nomenclature for Optical Coherence Tomography (IN•OCT) Panel.



## Strati della retina e della coroide

Si può osservare, dall'alto in basso, lo strato delle fibre del nervo ottico con la limitante interna formata da fibrille di cellule di Müller.

Strato delle cellule ganglionari, i cui assoni formano lo strato delle fibre ottiche.

Plessiforme interna, dove si connettono le cellule bipolari e ganglionari. Vi sono strutture orizzontali formate in parte da fibrille delle cellule di Müller.

Strato nucleare interno delle cellule bipolari.

Strato plessiforme esterno, dove si connettono fotorecettori e cellule bipolari. Sono presenti anche strutture orizzontali delle cellule orizzontali e fibrille delle cellule di Müller.

Strato dei nuclei dei fotorecettori.

La membrana della limitante esterna, formata da fibrille provenienti dalle fibre di Müller, forma una rete che circonda coni e bastoncelli.

Giunzione segmento interno e segmento esterno dei fotorecettori.

Segmento esterno dei coni e dei bastoncelli.

Giunzione fra estremità esterna dei coni e dei bastoncelli e fibrille delle cellule epiteliali.

Corpo delle cellule epiteliali.

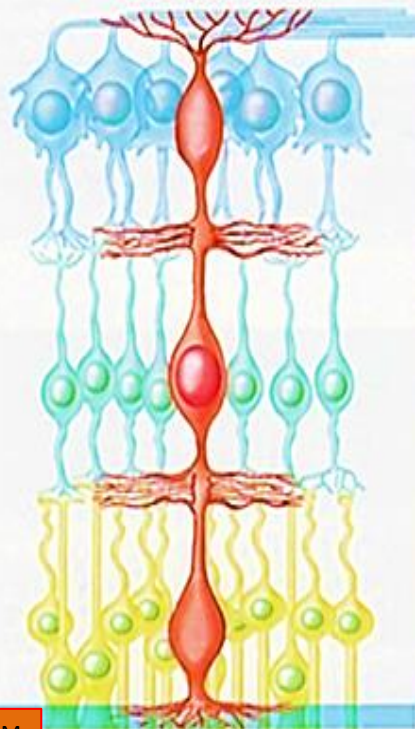
Membrana di Bruch e coriocapillare.

Strato di Sattler dei piccoli vasi della coroide.

Strato di Haller dei grandi vasi della coroide.

Interfaccia fra coroide e sclera.

Sclera.



ELM

EZ

IZ

EPR Bruch

Mioide

Pizzelli

### 1) La membrana limitante esterna (ELM)

si trova al confine tra i corpi cellulari (nuclei) e i segmenti interni dei fotorecettori e comprende gruppi di complessi giunzionali tra le cellule Müller e i fotorecettori.

### 2) La Zona Ellissoidale (EZ),

precedentemente indicata come giunzione del segmento interno /segmento esterno del fotorecettore (IS /OS), è ora pensata per essere formata principalmente dai mitocondri all'interno dello strato ellissoidale della porzione esterna dei segmenti interni di i fotorecettori. In una fovea normale, la distanza dalla linea EZ all'ELM è inferiore a quella dalla linea EZ all'EPR

### 3) La Zona di Interdigitazione (IZ)

corrisponde al cilindro di contatto rappresentato dagli apici delle celle EPR che racchiudono parte dei segmenti esterni del cono. Questo strato era precedentemente indicato come punte del segmento esterno del cono (COST) o punte del segmento esterno dello stelo (ROST), e non è sempre distinguibile dal livello RPE sottostante, anche nei soggetti normali.

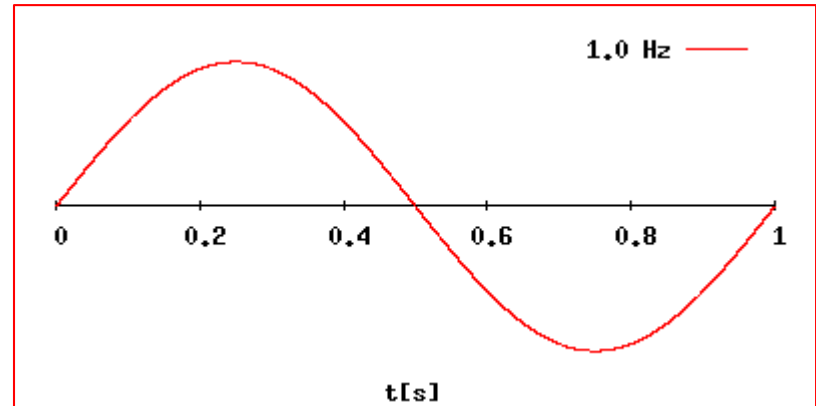
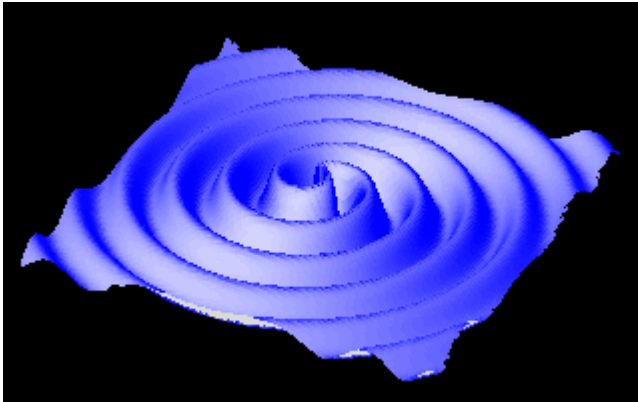
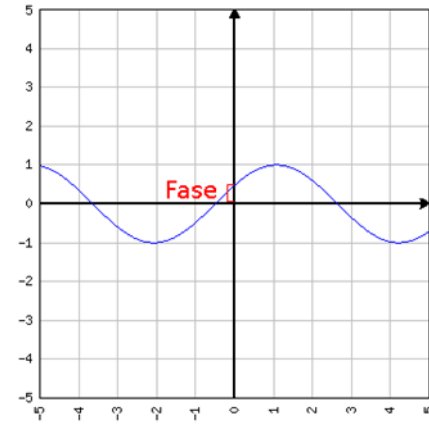
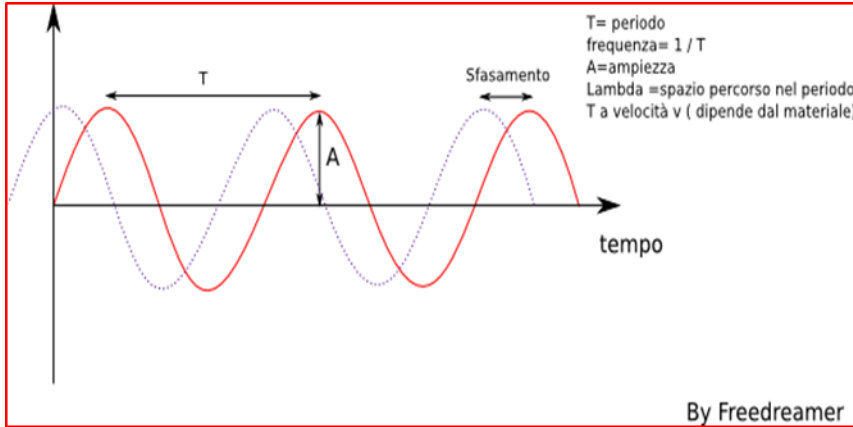
### 4) EPR-Bruch

La banda epiteliale del pigmento retinico è formata dall'EPR e dalla membrana di Bruch (indistinguibili l'una dall'altra in uno stato normale utilizzando gli attuali sistemi SD-OCT). Nella fovea, questa banda è più spessa, il che indica che le strutture coroidali possono anche contribuire all'iper-riflettività della banda EPR in questa posizione





# What is a wave? «energy propagated through matter» A. Einstein



a) Angiografia dyeless basata sull'ampiezza del segnale OCT

b) Angiografia dyeless basata sulla fase del segnale OCT

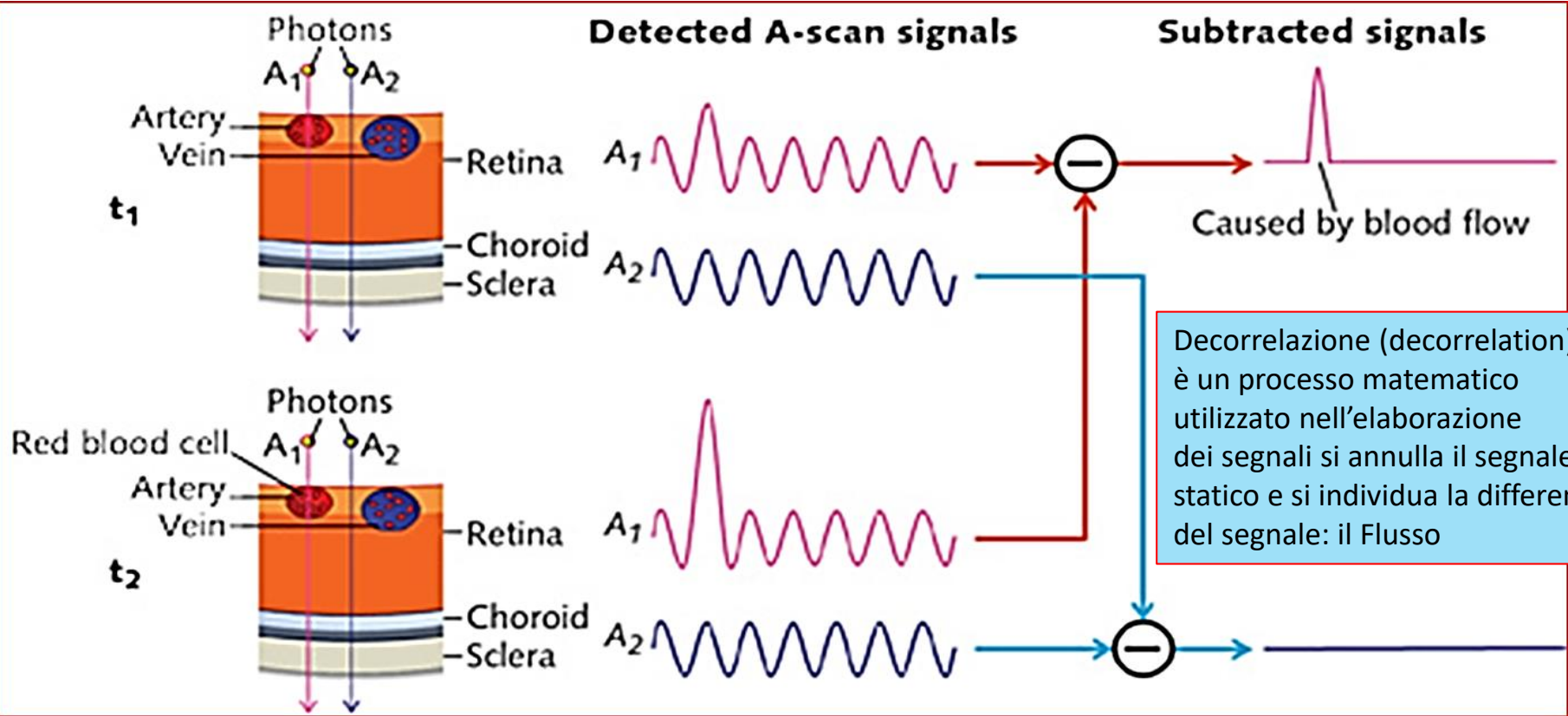
c) Angiografia dyeless basata sull'ampiezza e sulla fase del segnale OCT (complex signal)



# How OCTA Works



decorrelation



As moving blood cells pass through vessels, they generate changes in OCT signals. Based on this concept, a blood flow signal can be extracted by subtracting the OCT signals from the same location but at different time points (red path). The OCT signals will be different at these locations, while OCT signals from surrounding retinal tissues will remain steady (blue path).

by **CHIEH-LI CHEN 11/13/2015 Bio Optics World**



# Perfusion Density and Vessel Density

$$\text{Perfusion Density} = \frac{\text{Area Perfusa [mm}^2\text{]}}{\text{Area Totale [mm}^2\text{]}}$$

The flow index is defined as the average decorrelation values in the segmented area

$$\frac{\int_A D \cdot V dA}{\int_A dA} \quad \text{If not} \\ (V=1, \text{ if vessel; } V=0,$$

$$\text{Vessel Density [mm}^{-1}\text{]} = \frac{\text{Lunghezza Vasi [mm]}}{\text{Area Totale [mm}^2\text{]}}$$

The VD was defined as the percentage of signal-positive pixels/area of interest

The Vessel Density is defined as the percentage area occupied by vessels the segmented area

$$\frac{\int_A V dA}{\int_A dA} \quad \text{If not} \\ (V=1, \text{ if vessel; } V=0,$$

Numero di pubblicazione WO2014040070 A1

Tipo di pubblicazione Richiesta

Numero domanda PCT/US2013/059047

Data di pubblicazione 13 mar 2014

Data di registrazione 10 set 2013

Data di priorità 10 set 2012

Pubblicato anche come CA2883402A1, Altri 5 »

**Inventori David Huang, Yali Jia, Jason Tokayer, Ou Tan**

Candidato Oregon Health & Science University

Esporta citazione BiBTeX, EndNote, RefMan

Citazioni di brevetti (5), Con riferimenti in (1), Classificazioni (15), Eventi legali (4)



# AngioPlex & Analysis Layer

- **10 slab +**

**Retina Depth Encoded  
Retina**

**VRI Vitreo-Retinal Interface**

**Superficial Retinal Layer**

**Deep Retinal Layer**

**Avascular**

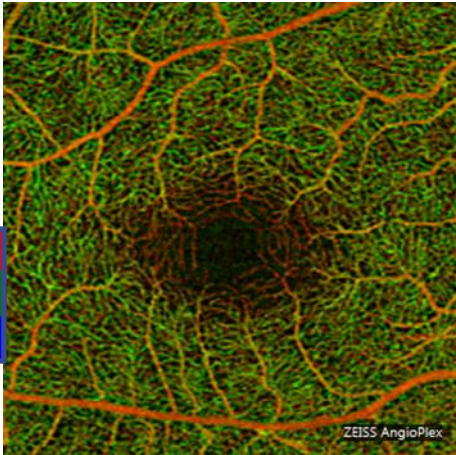

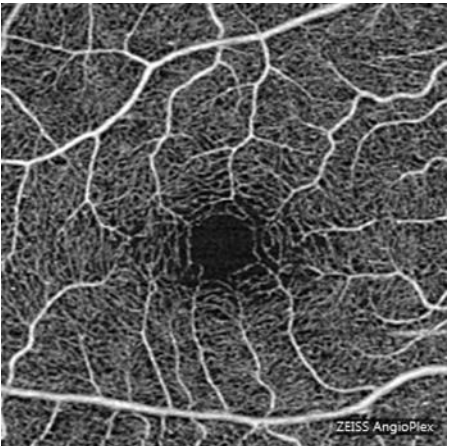
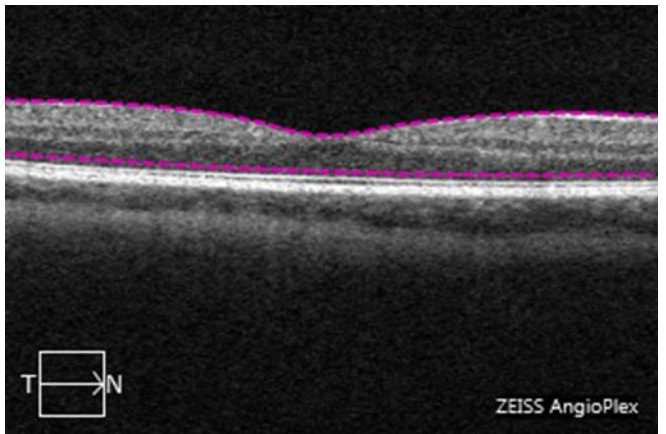
**Sub RPE**

**Choroid**

**RPE-RPE fit**

**ORCC Outer Retina to Choriocapillaris**

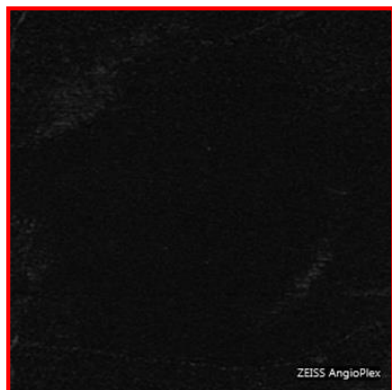
# AngioPlex Analysis Layer Presets: Retina Depth Encoded and Retina

Layer Preset	Layer Boundaries	Example Image (Normal Eye)	B-scan with Layers
<b>Retina Depth Encoded</b>	Combination of: Superficial, Deep, and Avascular Layers  Superficial: Red Deep: Green Avascular: Blue		
<b>Retina</b>	Inner Boundary: ILM  Outer Boundary: RPE = RPEfit - 70µm		

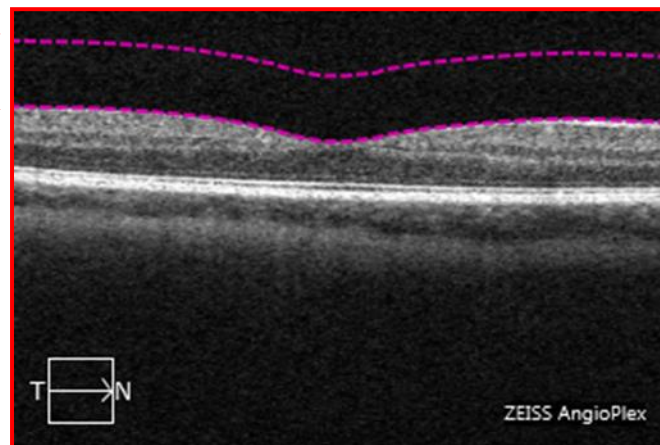


# AngioPlex Analysis Layer Presets: VRI and Superficial

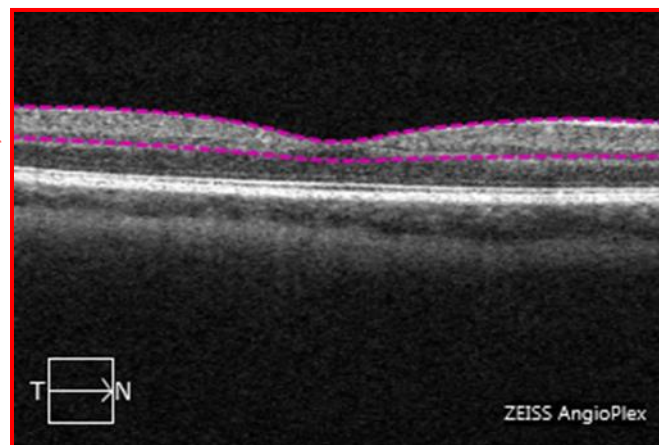
## - VRI Vitreo-Retinal Interface



Inner Boundary  
Outer Boundary ILM  
- 300µm



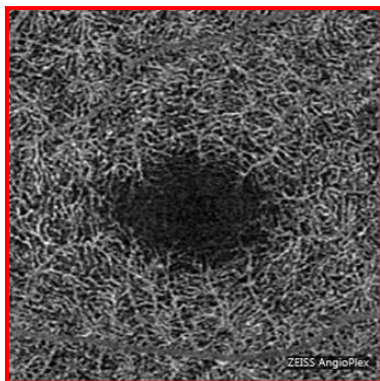
Inner Boundary ILM  
 $IPL = ILM + 70\% (OPL - ILM)$   
Outer Boundary IPL



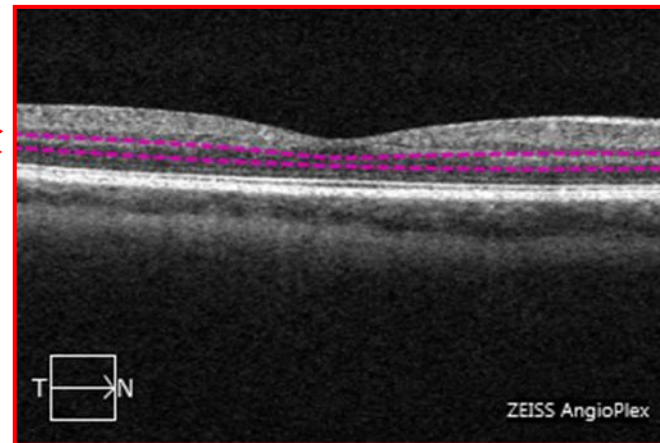
## - Superficial Superficial Retinal Layer

# AngioPlex Analysis Layer Presets: Deep and Avascular

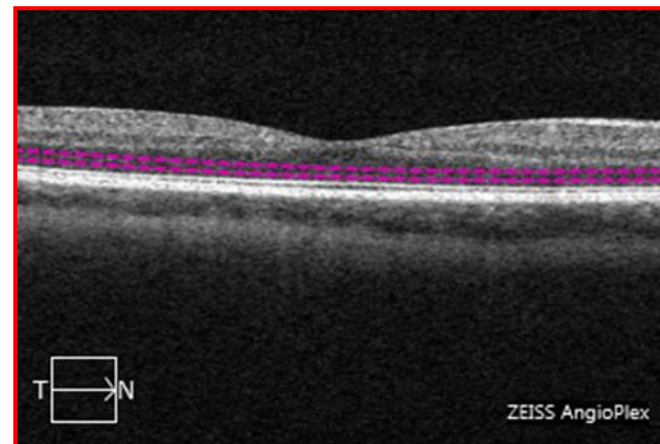
## - Deep Deep Retinal Layer



Inner Boundary IPL  
Outer Boundary OPL=RPEfit-110 $\mu$ m



Inner Boundary OPL  
Outer Boundary IS/OS=RPEfit-70 $\mu$ m



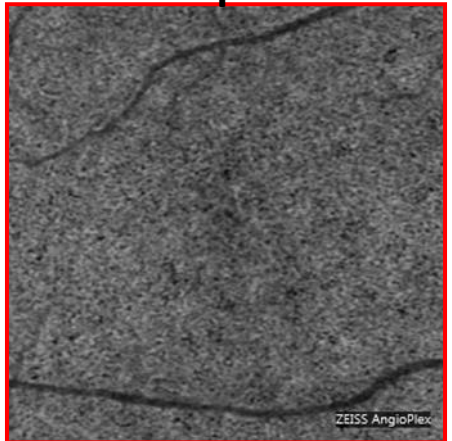
## - Avascular Avascular Retina



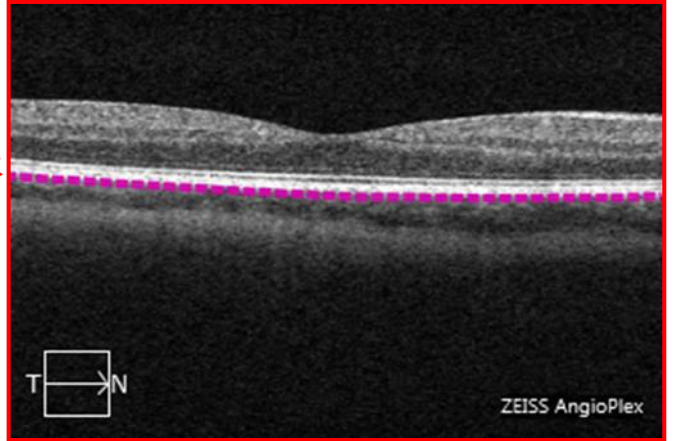
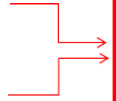


# AngioPlex Analysis Layer Presets: Choriocapillaris and Choroid

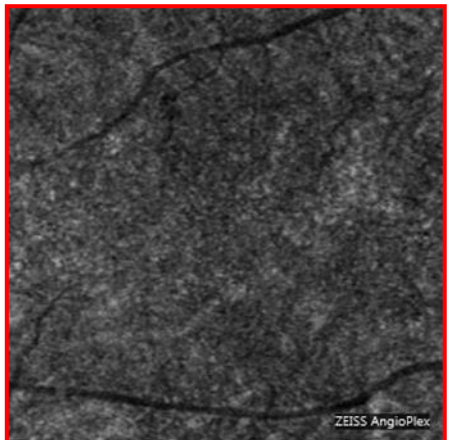
## - Choriocapillaris **not used**



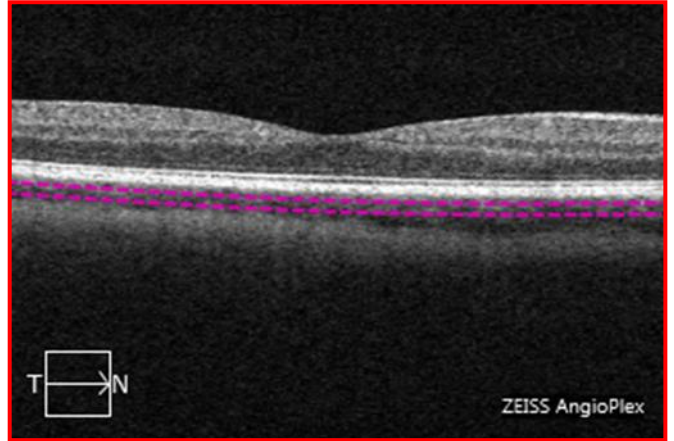
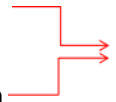
Inner Boundary CCIB=RPE+29μm  
Outer Boundary CCOB = RPE+49μm



## - Choroid



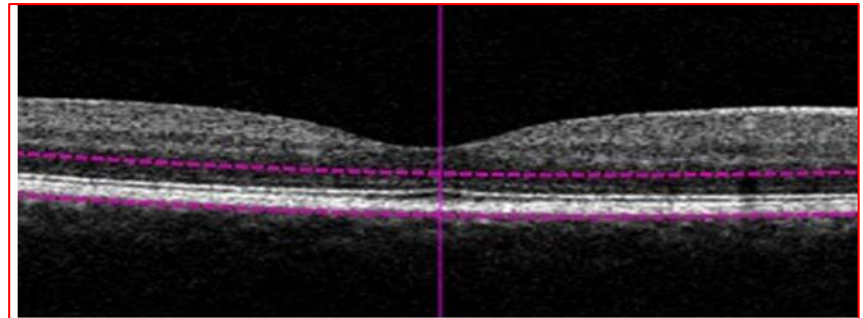
Inner Boundary ChIB = RPEfit + 64μm  
Outer Boundary ChOB = RPEfit + 115μm



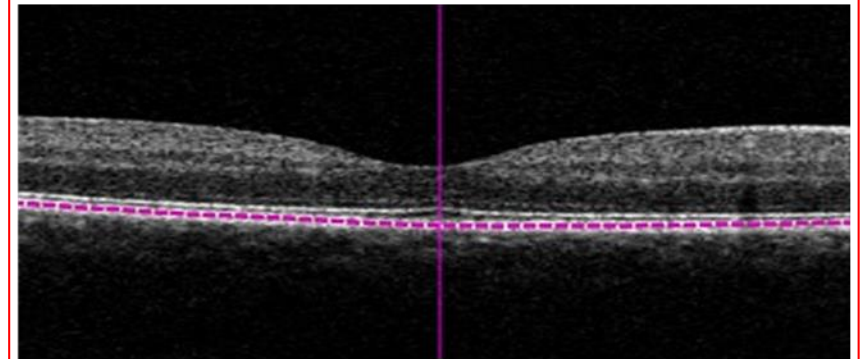


# Useful to visualize CNV & Wet AMD

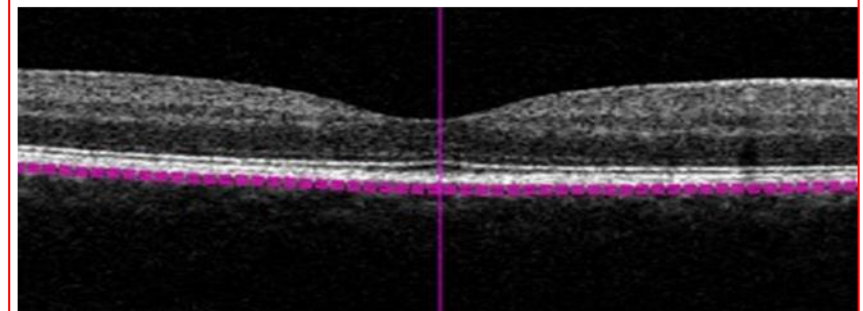
**ORCC: Outer Retina to Choriocapillaris  
visualize classic CNV or occult**



**RPE to RPE fit: visualize CNV**

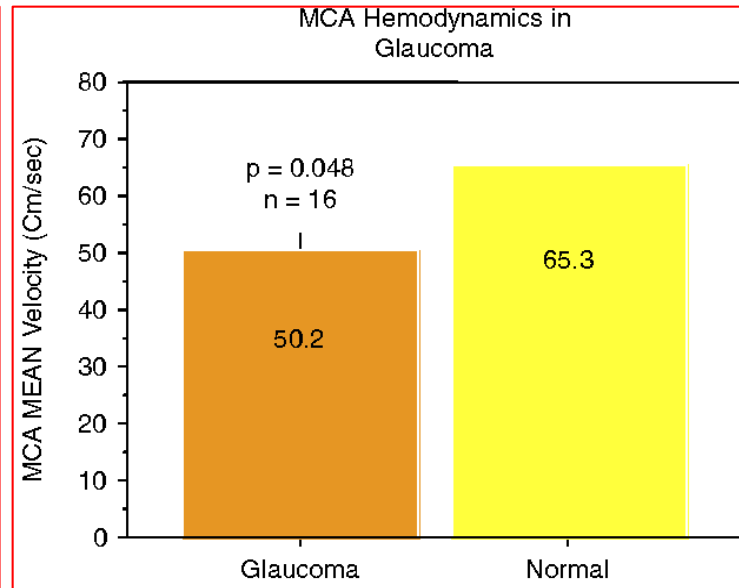
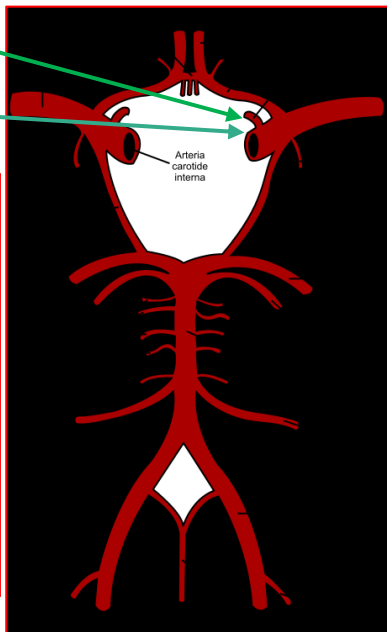


**Sub-RPE: visualize CNV**

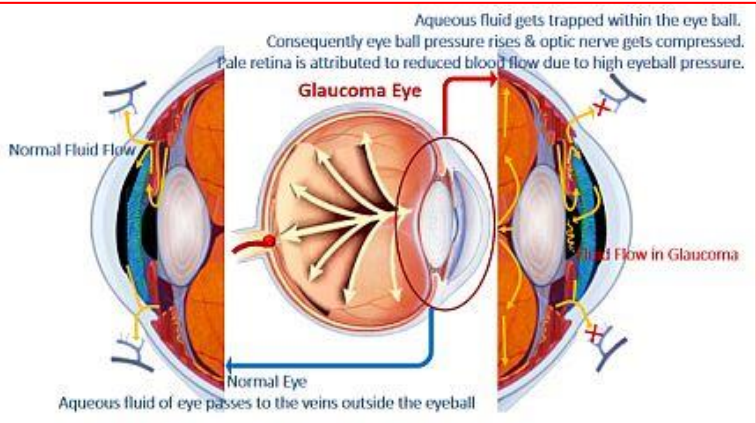


a. oftalmica

a. cerebrale media a. silviana Carotide interna



Mean blood flow velocities in the middle cerebral artery (MCA)



### Blood flow of the ONH is supplied by two main sources 1

- **Central retinal artery (CRA)**, which supplies the superficial RNFL layer of the ONH
- **Posterior ciliary artery (PCA)** circulation

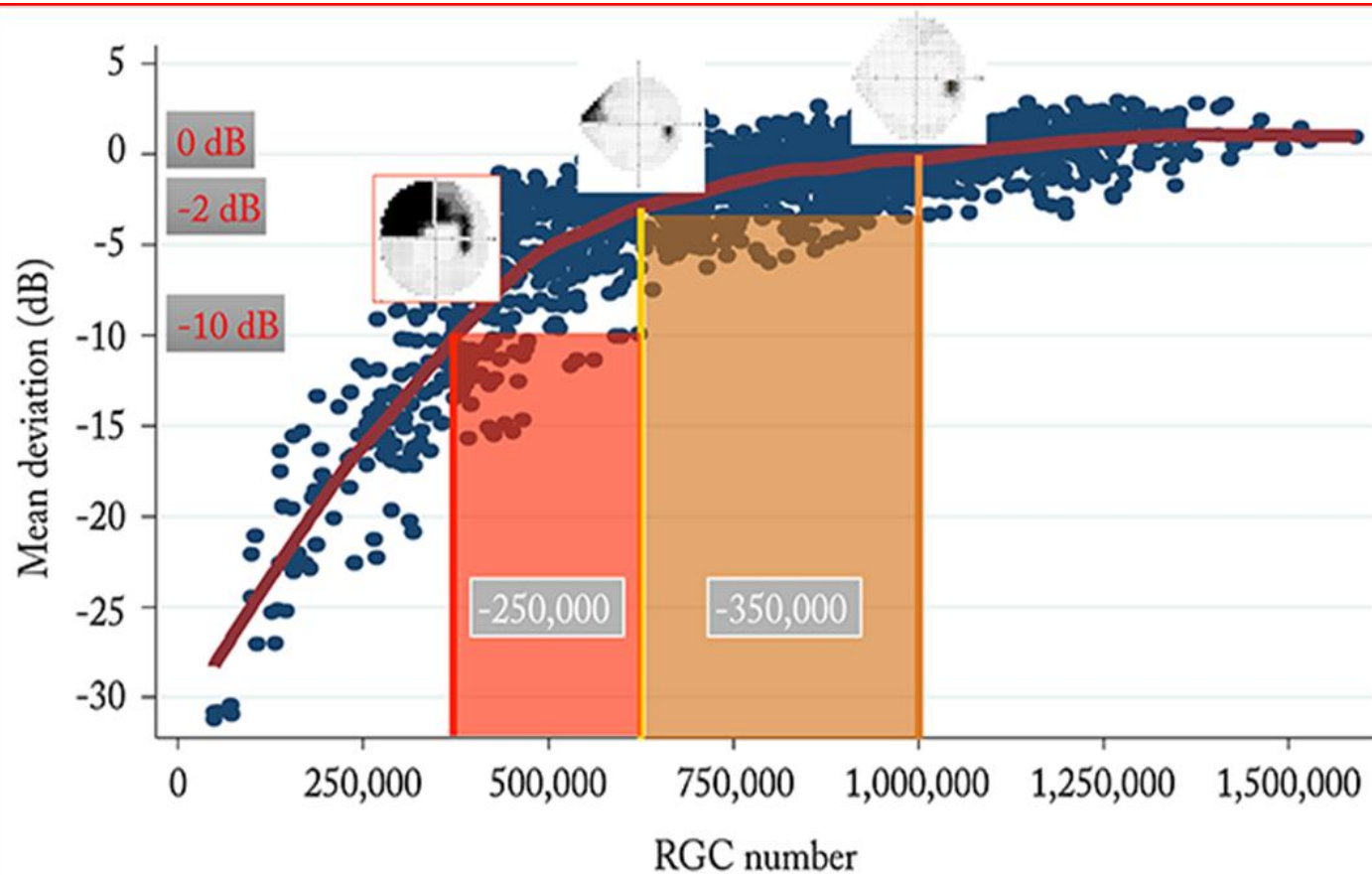
### Blood flow to the RNFL is supplied by the microcirculation coming from the **retinal radial peripapillary capillaries (RPC)**

**OCTA can visualize the RPC network but traditional fluorescein angiography cannot 2**

**OCTA for GLAUCOMA: It has been reported that optic disc perfusion may be useful in the evaluation of glaucoma and glaucoma progression 3,4**

1. Hayreh SS. Blood supply of the optic nerve head and its role in optic atrophy, glaucoma, and oedema of the optic disc. Br J Ophthalmol 1969;53:721-748.
2. Spaide RF, Klancnik JM, Cooney MJ. Retinal Vascular Layers Imaged by Fluorescein Angiography and Optical Coherence Tomography Angiography. JAMA Ophthalmol 2015;133:45-50.
3. Chen CL, Bojikian KD, Gupta D, Wen JC, Zhang Q, Xin C, Kono R, Mudumbai RC, Johnstone MA, Chen PP, Wang, RK, "Optic nerve head perfusion in normal eyes and eyes with glaucoma using optical coherence tomography-based microangiography," Quant Imaging Med Surg, 2016 Apr;6(2):125-133
4. Chen CL, Zhang A, Bojikian KD, Wen, JC, Zhang, Q, Xin, C, Mudumbai, RC, Johnstone, MA, Chen, PP, Wang, RK, "Peripapillary Retinal Nerve Fiber Layer Vascular Microcirculation in Glaucoma using Optical Coherence Tomography-based Microangiography," Invest Ophthalmol Vis Sci. 2016 Jul;57(9):OCT475–OCT485



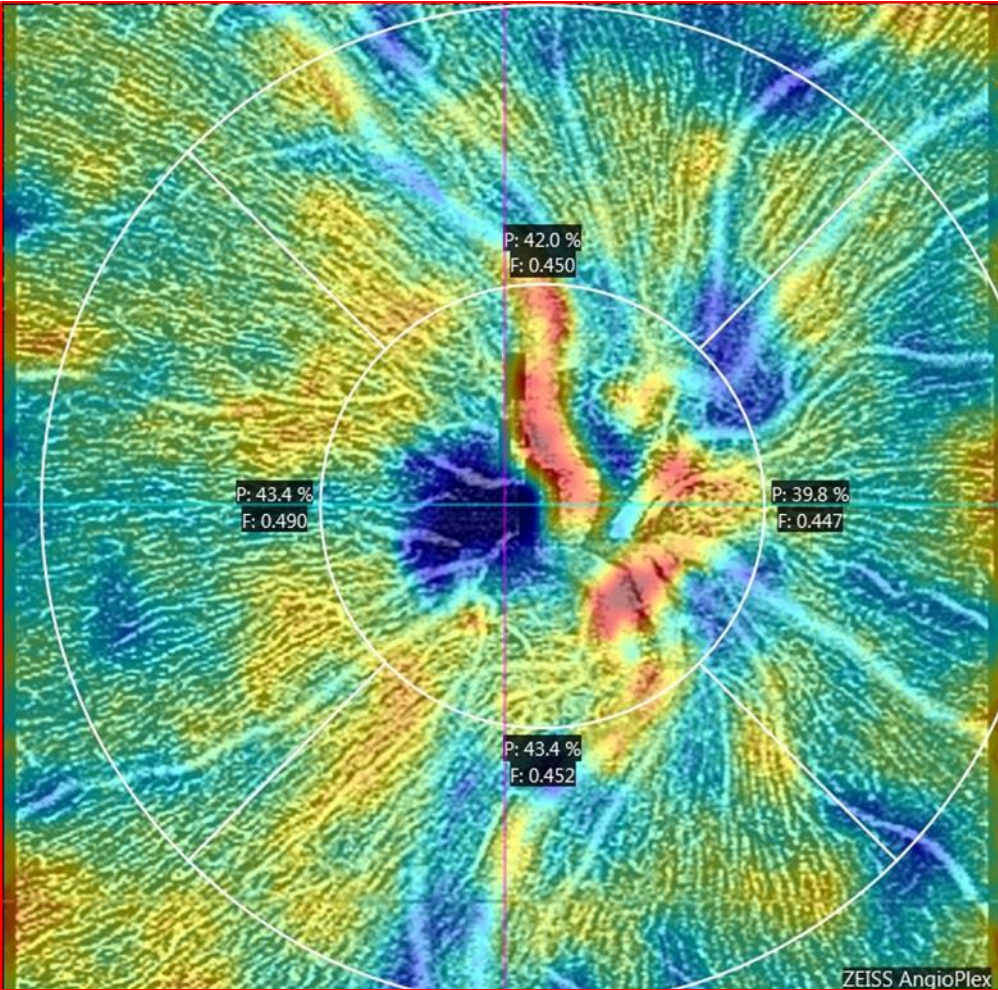


## Angio-OCT

By Michel Puech  
Explore Vision Parigi

- 1) Peri-Optic Disc Blood Flow
- 2) Optic Disc Blood Flow
- 3) Lamina Cribrosa

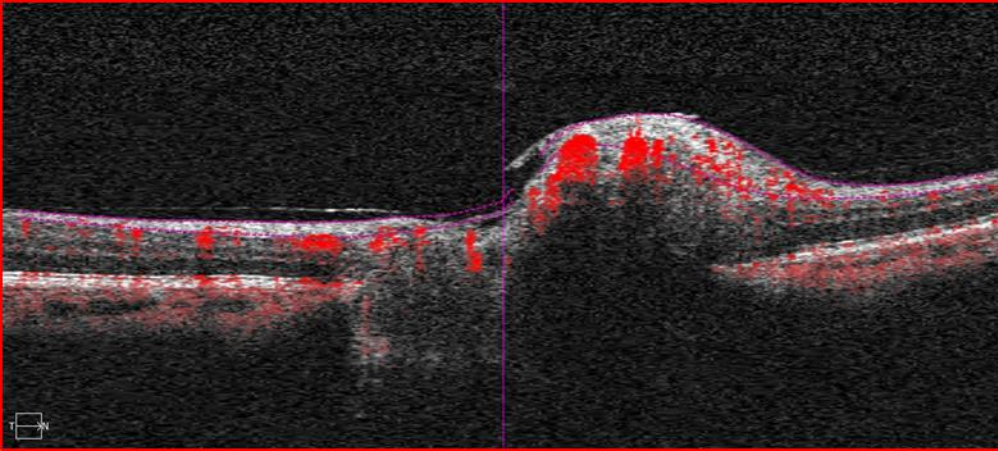
Relationship between **visual field loss** and **RGC numbers**. A normal visual field in a healthy individual has approximately **1 million RGCs**. At a **mean deviation of -2 dB**, which equates to an **early field defect**, **RGC number** has decreased by around **350,000 cells**. At **-10 dB**, a field defect that can result in **functional impairment** and **quality of life decline**, **RGC number** has **decreased** by a further **250,000 cells** from the RGC number at -2 dB



**ONH Angiography Analysis:**  
**ONH Angiography**  
**4.5 mm x 4.5 mm**

**P = Perfusion = Area perfusa/area totale**  
**F = Fux Index = Lunghezza vasi/area totale**

**Reference: Top ILM**  
**Bottom RNFL**









// INNOVATION  
MADE BY ZEISS

**>>> *Clinical Cases.....***

***.....Enter the New Era of Retinal Care by Zeiss***



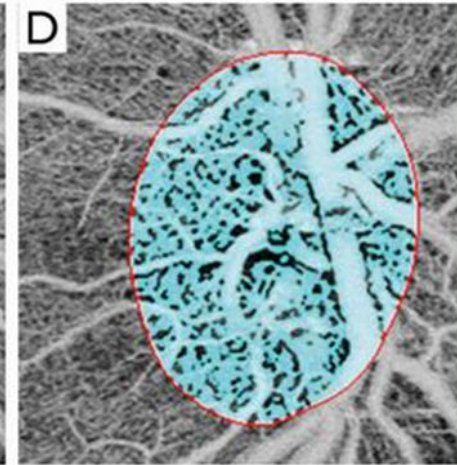
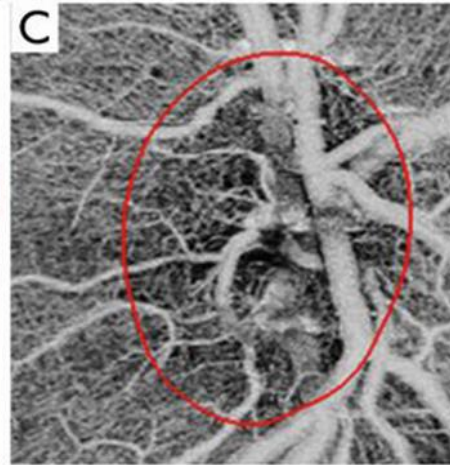
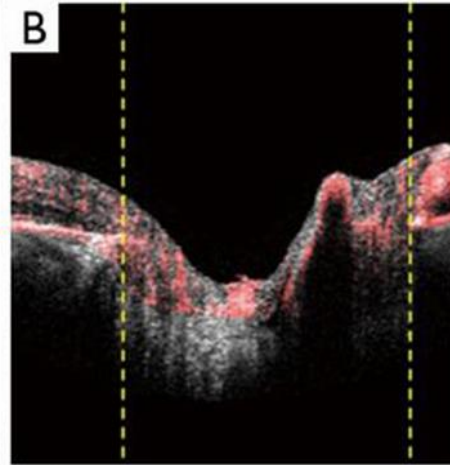
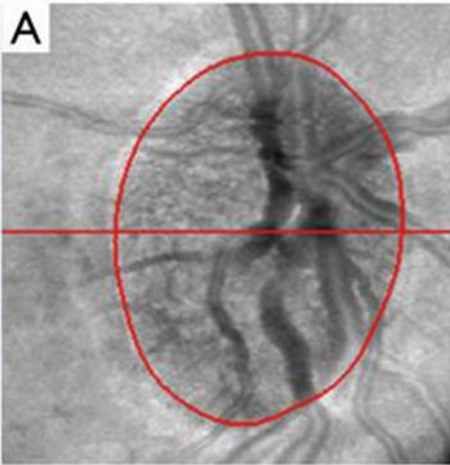
Structural *en face* image

Cross-sectional image

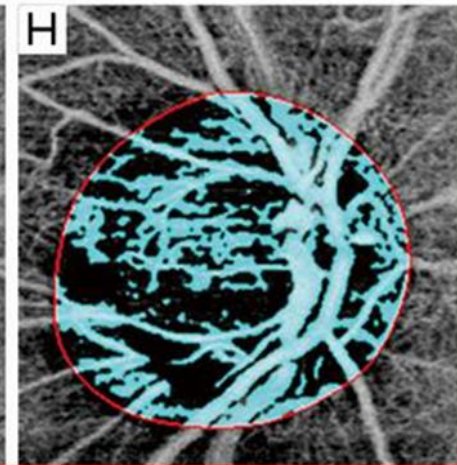
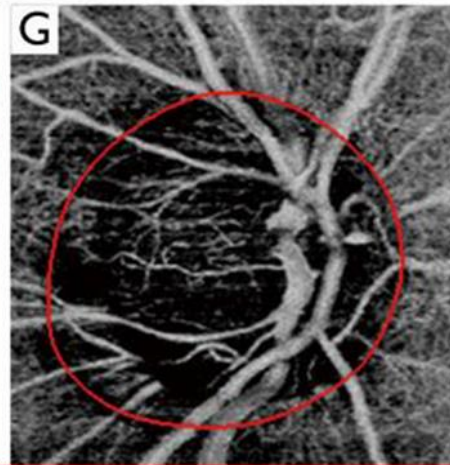
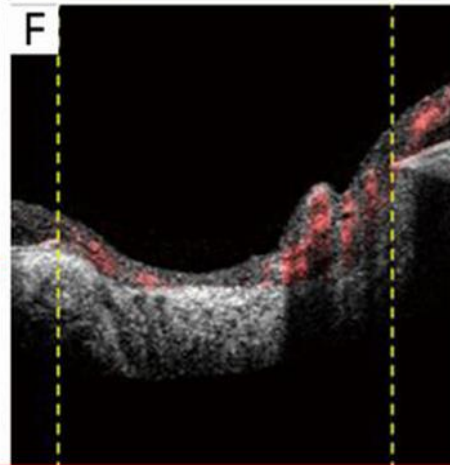
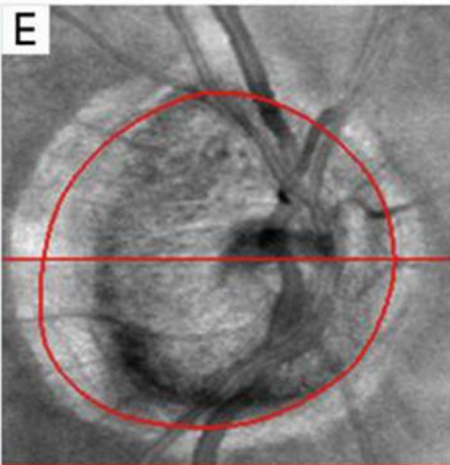
Vascular *en face* image

Detected vessel map

Normal



Glaucoma



Example of retinal layer segmentation. Two retinal boundaries were segmented: inner limiting membrane (ILM) (the yellow line), retinal pigment epithelium (RPE) (the red line outside the optic disc) and anterior surface of lamina cribrosa (LC) (the same red line within the optic disc). (A,B) Structural and blood flow cross-sectional image superimposed with segmented retinal boundaries.

by: Chieh-Li Chen et al.

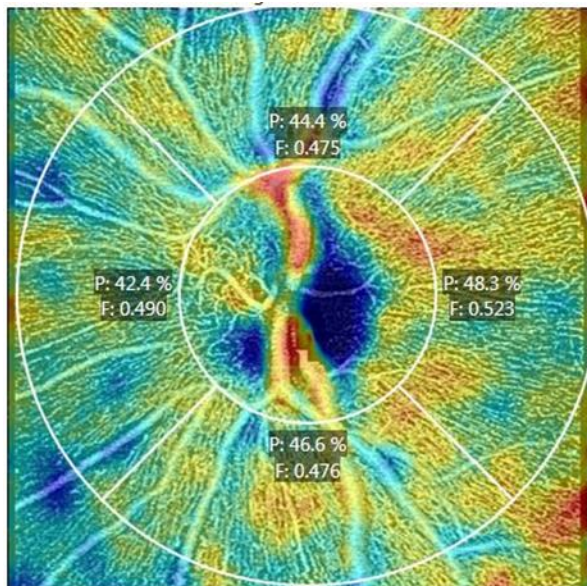
Zeiss AngioPlex



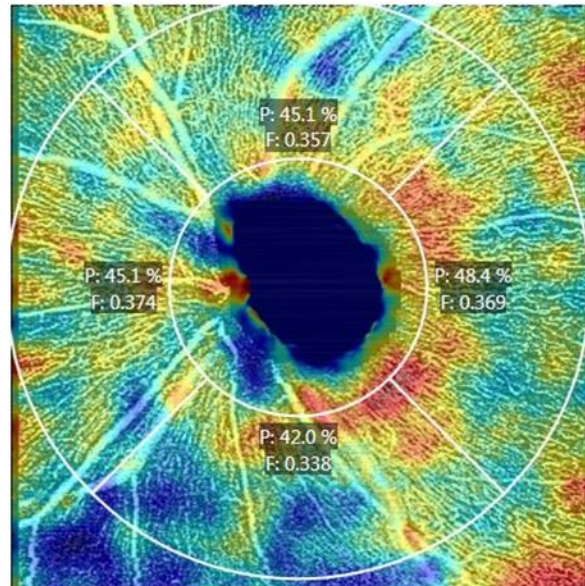


# AngioPlex Metrix for ONH

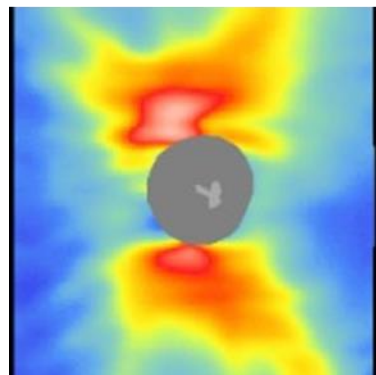
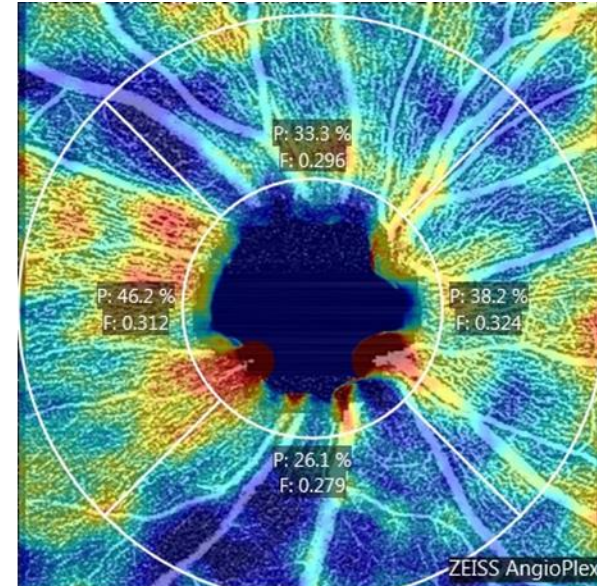
Normal



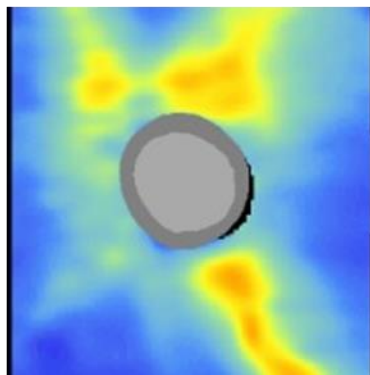
Glaucoma



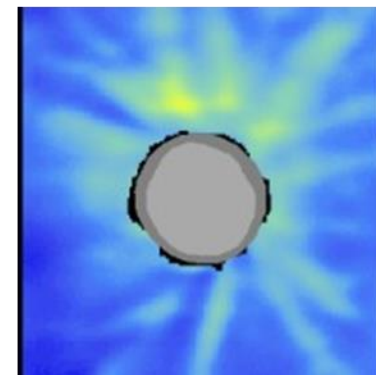
Advanced Glaucoma



Inferior  
P: 46.6%  
F: 0.476



Inferior  
P: 42.0%  
F: 0.338



Inferior  
P: 26.1%  
F: 0.279

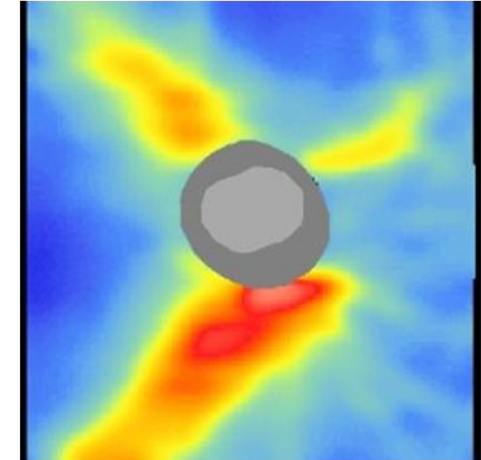
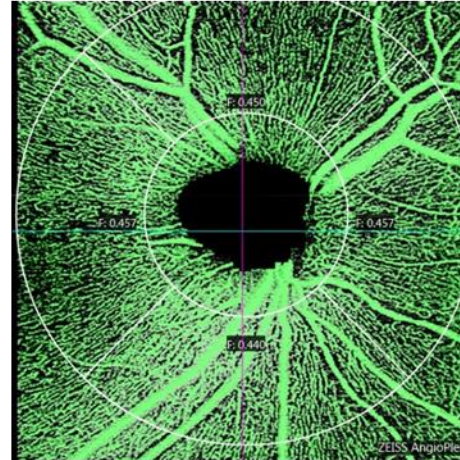
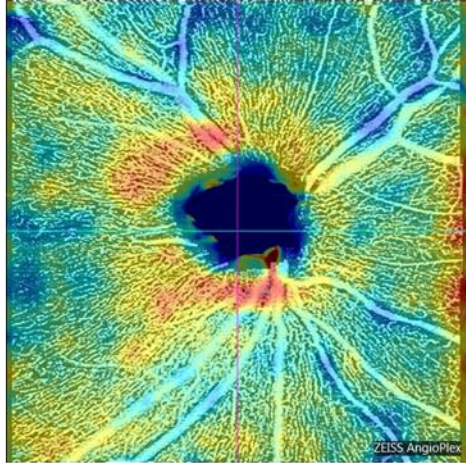


Perfusion Map

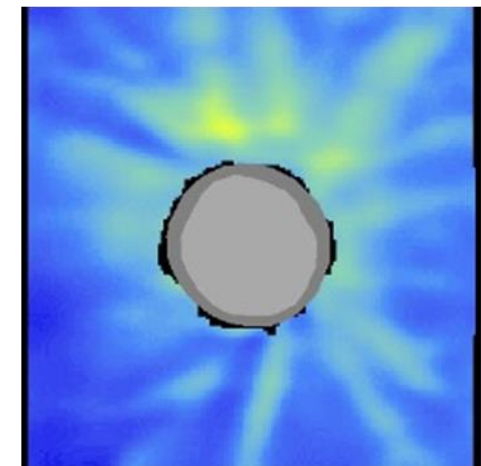
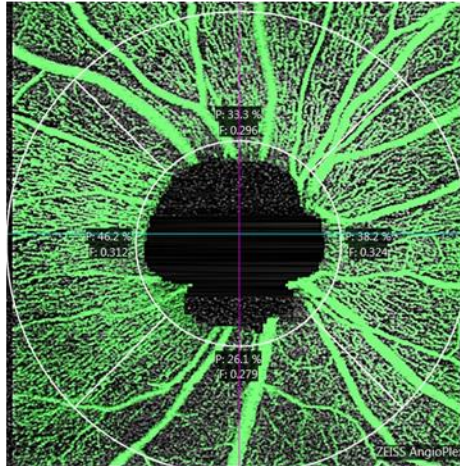
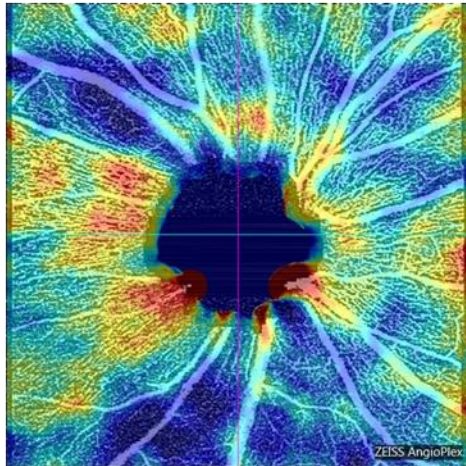
Perfusion Trace Map

RNFL Thickness

Normal



Glaucoma

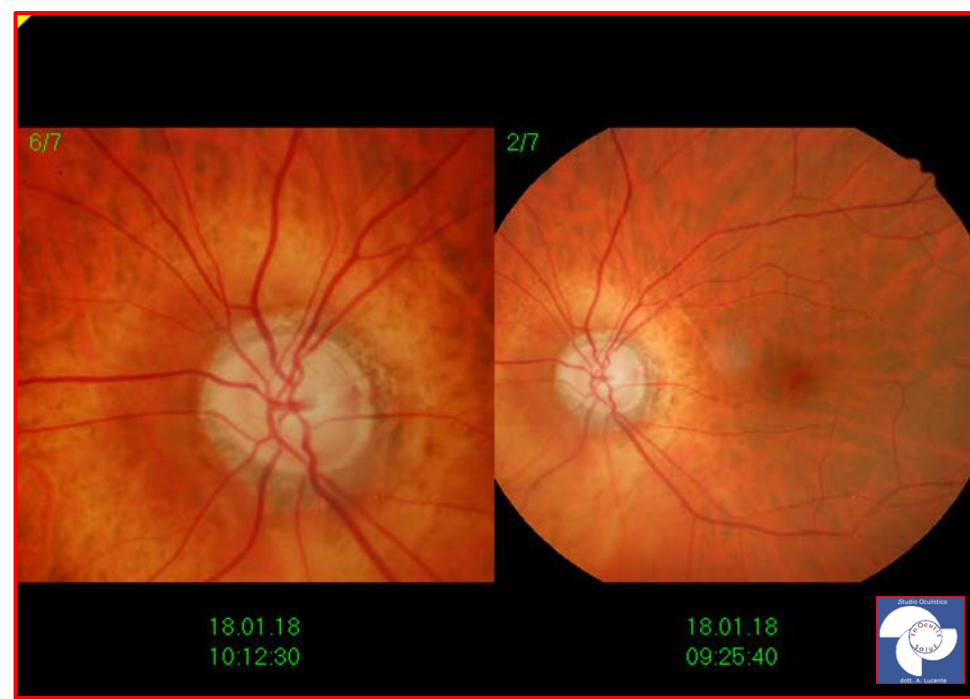


1. Hayreh SS. Blood supply of the optic nerve head and its role in optic atrophy, glaucoma, and oedema of the optic disc. *Br J Ophthalmol* 1969;53:721-748.
2. Spaide RF, Klancnik JM, Cooney MJ. Retinal Vascular Layers Imaged by Fluorescein Angiography and Optical Coherence Tomography Angiography. *JAMA Ophthalmol* 2015;133:45-50.
3. Chen CL, Bojikian KD, Gupta D, Wen JC, Zhang Q, Xin C, Kono R, Mudumbai RC, Johnstone MA, Chen PP, Wang, RK, "Optic nerve head perfusion in normal eyes and eyes with glaucoma using optical coherence tomography-based microangiography," *Quant Imaging Med Surg*, 2016 Apr;6(2):125-133
4. Chen CL, Zhang A, Bojikian KD, Wen, JC, Zhang, Q, Xin, C, Mudumbai, RC, Johnstone, MA, Chen, PP, Wang, RK, "Peripapillary Retinal Nerve Fiber Layer Vascular Microcirculation in Glaucoma using Optical Coherence Tomography-based Microangiography," *Invest Ophthalmol Vis Sci*. 2016 Jul;57(9):OCT475–OCT485

## Stress /Strain and IOP and finite elements

SL<sup>o</sup> 78 aa Glaucoma peripapillare

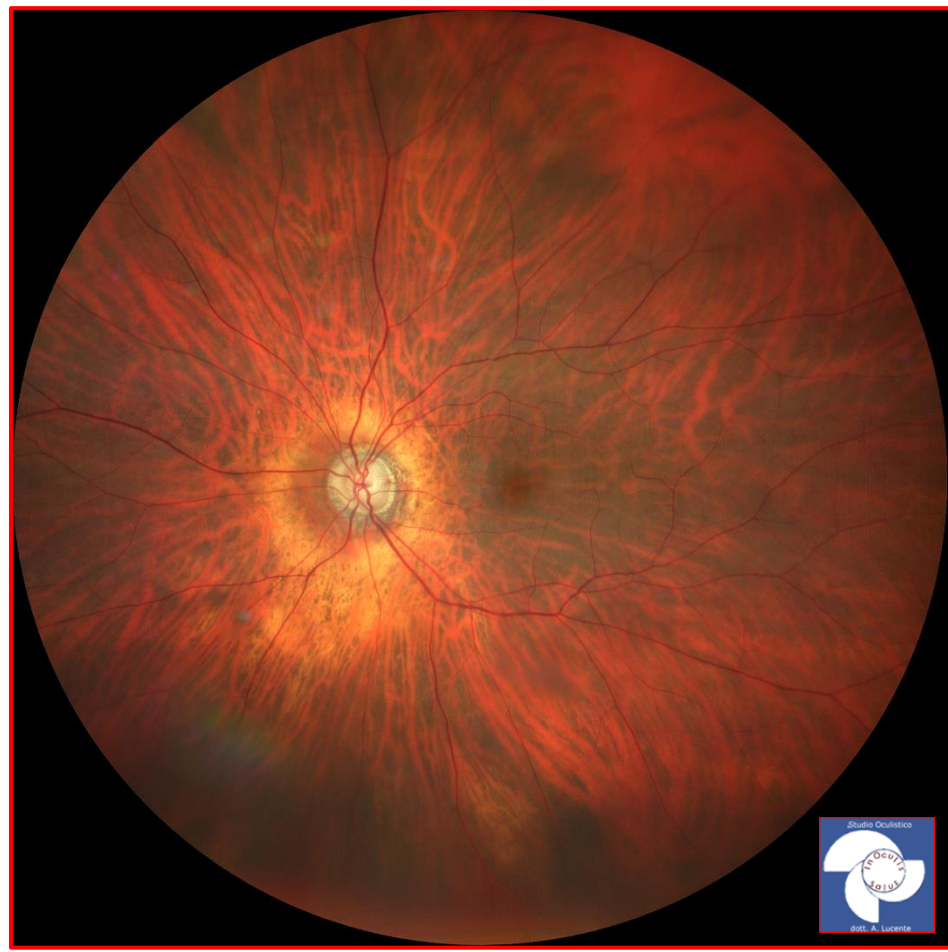
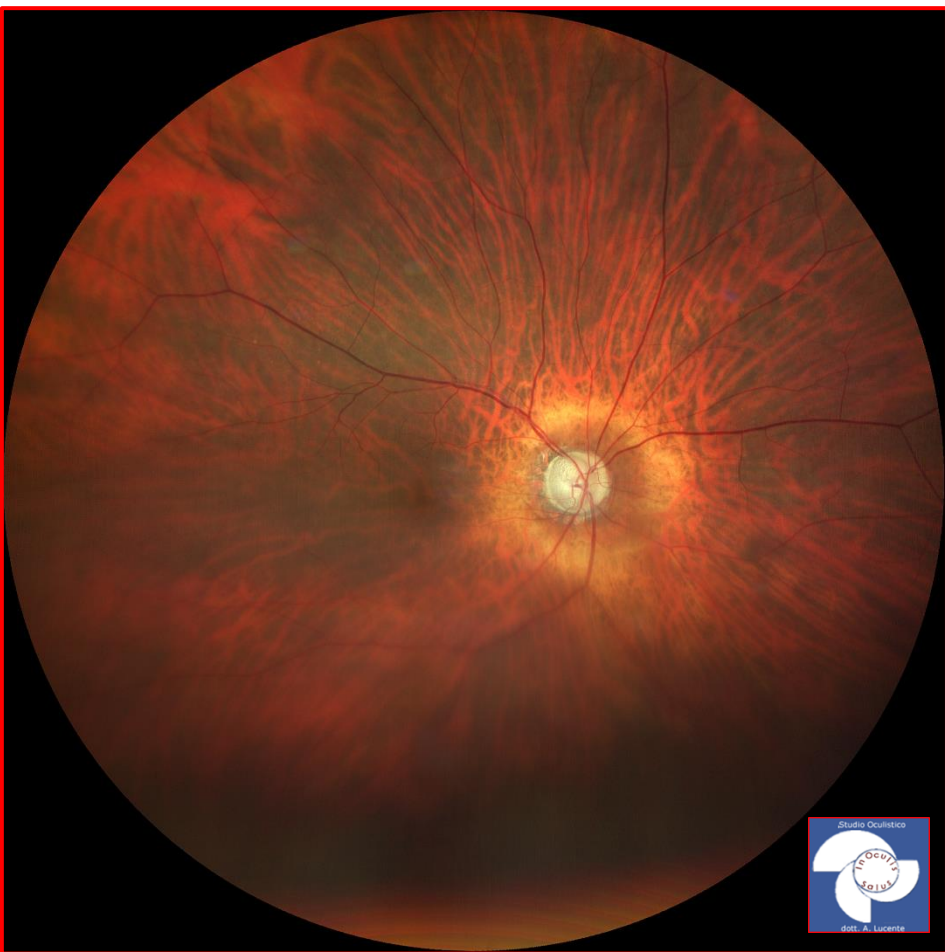
## Biomeccanica e Glaucoma



Uno studio biomeccanico del danno strutturale e sulla deformabilità sclerale (Strain) è condotto da anni da Claude Burgoyne (Portland Oregon, USA). Da oltre un decennio Burgoyne studia gli effetti della IOP sulla sclera e, in particolar modo, sulla regione peripapillare

Bruno L., Fazio M. A., Poggialini A., Lucente A. Identificazione dei Meccanismi di Danneggiamento dei Tessuti dell'Occhio Mediante Analisi Numeriche e Sperimentali. Atti del convegno "9° Congresso Internaz. SOI 2011. Massimo A. Fazio, Rafael Grytz, L. Bruno, Michael J. A. Girard, Stuart Gardiner, Christopher A. Girkin, J. Crawford Downs. Regional Variations in Mechanical Strain in the Posterior Human Sclera. Investigative Ophthalmology & Visual Science, August 2012, Vol. 53, No. 9.





# Glaucoma

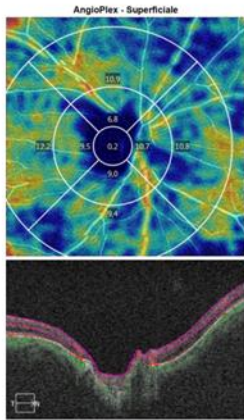
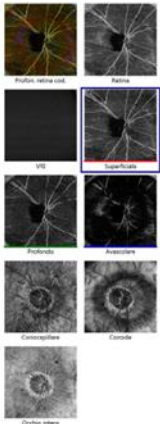
Nome:   
 ID: 1940.1120.ADT4.8146.B7C9.E   
 Data di nascita: 20/11/1940   
 Sesso: Unknown   
 Tecnico: Angio, Cirius

Data esame: 18/01/2018   
 Ora dell'esame: 09:46   
 Numero di serie: 5000-6254   
 Intensità segnale: 7/10



## Analisi dell'angiografia : Angiography 6x6 mm

OD  OS



Sovrapposizioni  
 Struttura - Nessuno  
 AngioPlex - Vaso Mappa

ETDRS - Vaso		FAZ	
Regione	Densità	Area	0,07 mm <sup>2</sup>
Centrale	0,2 mm <sup>-1</sup>	Perimetro	1,18 mm
Interna	9,0 mm <sup>-1</sup>	Circularità	0,66
Esterna	10,8 mm <sup>-1</sup>		
Completo	10,1 mm <sup>-1</sup>		

Segmento: 175 Parte sup.: ILM Parte inf.: IPL

Commenti:   
 Firma del medico:   
 CIRIUS ANGIO SW Ver: 10.0.0.14618 Copyright 2016 Carl Zeiss Medtec, Inc All Rights Reserved Pagina 1 di 1

# Glaucoma

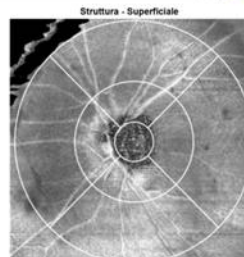
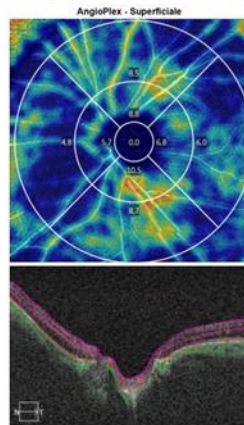
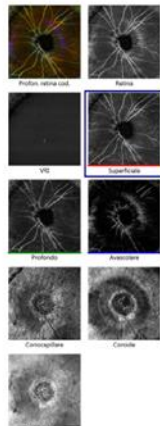
Nome:   
 ID: 1940.1120.ADT4.8146.B7C9.E   
 Data di nascita: 20/11/1940   
 Sesso: Unknown   
 Tecnico: Angio, Cirius

Data esame: 18/01/2018   
 Ora dell'esame: 09:53   
 Numero di serie: 5000-6254   
 Intensità segnale: 5/10



## Analisi dell'angiografia : Angiography 6x6 mm

OD  OS



Sovrapposizioni  
 Struttura - Nessuno  
 AngioPlex - Vaso Mappa

ETDRS - Vaso		FAZ	
Regione	Densità	Area	-
Centrale	0,0 mm <sup>-1</sup>	Perimetro	-
Interna	8,0 mm <sup>-1</sup>	Circularità	-
Esterna	7,0 mm <sup>-1</sup>		
Completo	7,0 mm <sup>-1</sup>		

Segmento: 175 Parte sup.: ILM Parte inf.: IPL

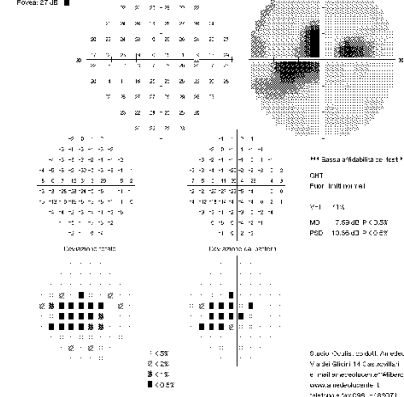
Commenti:   
 Firma del medico:   
 CIRIUS ANGIO SW Ver: 10.0.0.14618 Copyright 2016 Carl Zeiss Medtec, Inc All Rights Reserved Pagina 1 di 1

# Glaucoma

Cirius, Cirrus  
 DDN 20-11-1940

ID: 1040-202274-816705.ECSE  
 Tipo di log: 20 - Cirrus  
 Metodo di acquisizione: Angio-Color  
 Metodo di acquisizione: Cirrus  
 Numero di frame: 10/21  
 P: 10/21  
 P: 10/21  
 Durata: 09:1

Strada: 31 S ASB  
 Strategia: SITA-Standard  
 RX: DS DC X  
 Data: 18-01-2018  
 Ora: 09:50  
 Età: 77



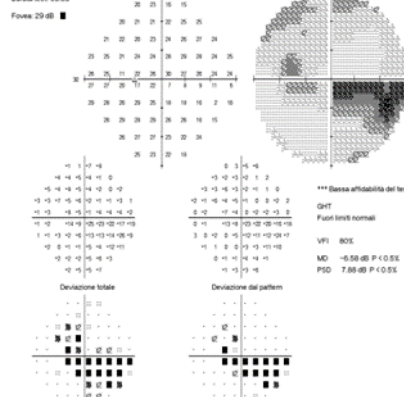
Fovea: 27 dB  
 \*\* Bassa affidabilità dei test \*\*  
 GHT  
 PUP: 8/10/10/141  
 VFI: 116  
 MD: 7,59 dB P < 0,01  
 PSD: 10,56 dB P < 0,01

Studio Oculistico dott. Amadeo Lucente  
 Via dei Giocatori 14 Castrovillari  
 e-mail: amadeolucente@libero.it  
 www.amadeolucente.it  
 telefono e fax: 0981-483071

# Glaucoma

Cirius, Cirrus  
 DDN 20-11-1940

Monitor fissazione: Sguardo/Arca/centrale  
 Strada: 31 S ASB  
 Strategia: SITA-Standard  
 RX: DS DC X  
 Data: 18-01-2018  
 Ora: 09:50  
 Età: 77



Fovea: 29 dB  
 \*\*\* Bassa affidabilità dei test \*\*\*  
 GHT  
 PUP: limiti normali  
 VFI: 80X  
 MD: -5,58 dB P < 0,0X  
 PSD: 7,88 dB P < 0,0X

Studio Oculistico dott. Amadeo Lucente  
 Via dei Giocatori 14 Castrovillari  
 e-mail: amadeolucente@libero.it  
 www.amadeolucente.it  
 telefono e fax: 0981-483071









FM RD Angio OD 01/2018

Nome:

OD

ID: CZM11844848927  
Data di nascita: 14/09/1988  
Sesso: Uomo  
Tecnico: Angio, Cirrus

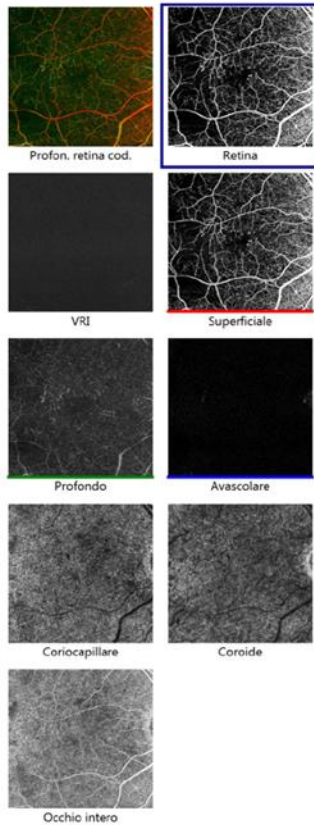
Data esame: 17/01/2018  
Ora dell'esame: 09:44  
Numero di serie: 5000-6254  
Intensità segnale: 7/10

Studio Oculistico A. Lucente

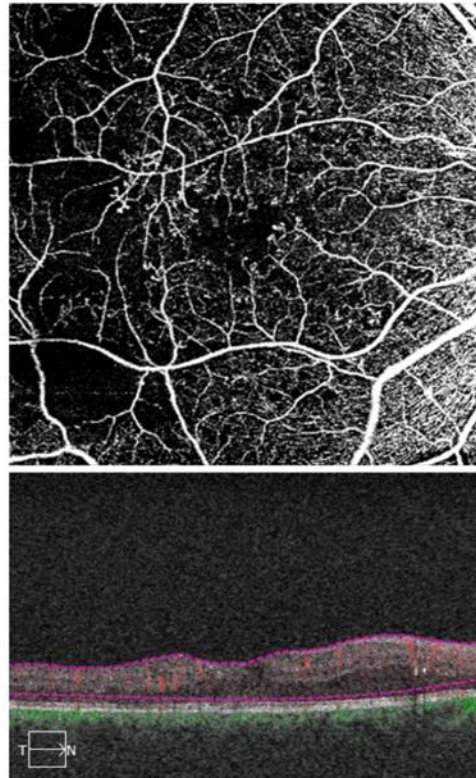


Analisi dell'angiografia : Angiography 8x8 mm

OD ● ○ OS

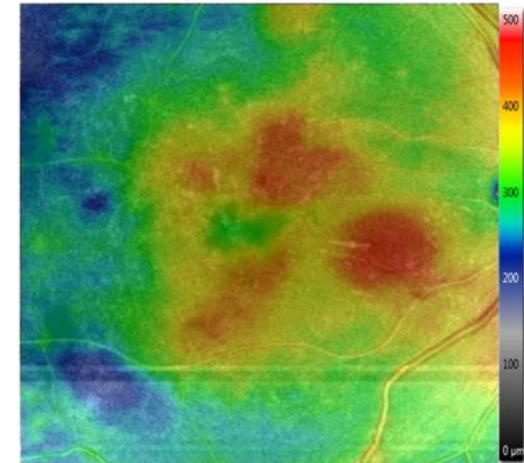


AngioPlex - Retina



Segmento: 175 Parte sup.: ILM Parte inf.: RPEFit-70µ

Struttura - Retina



Sovrapposizioni  
Struttura - Mappa dello spessore  
AngioPlex - Nessuno

Commenti

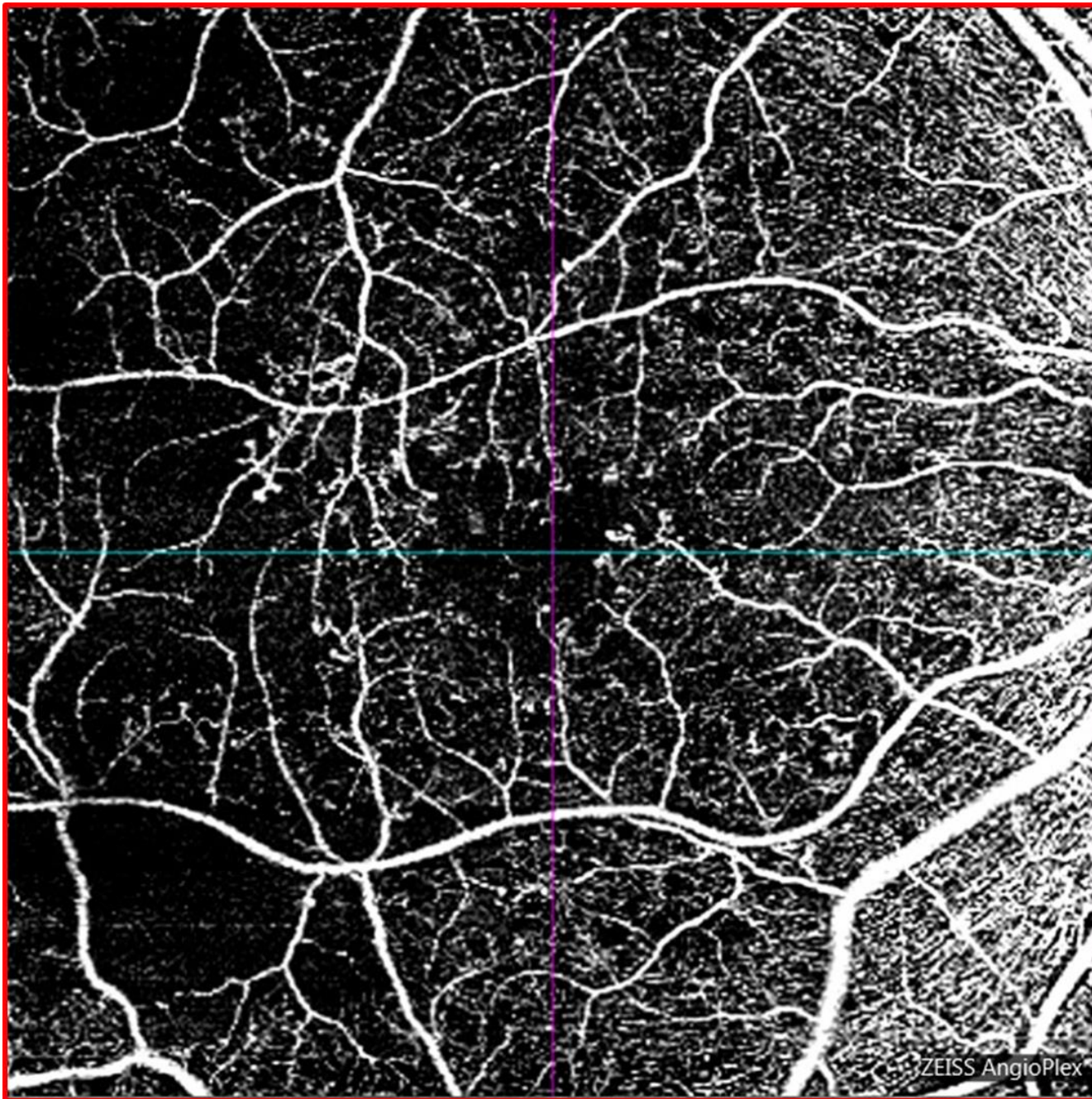
Analisi modificata: 17/01/2018 11:57

Firma del medico

Monitorato durante la scansione

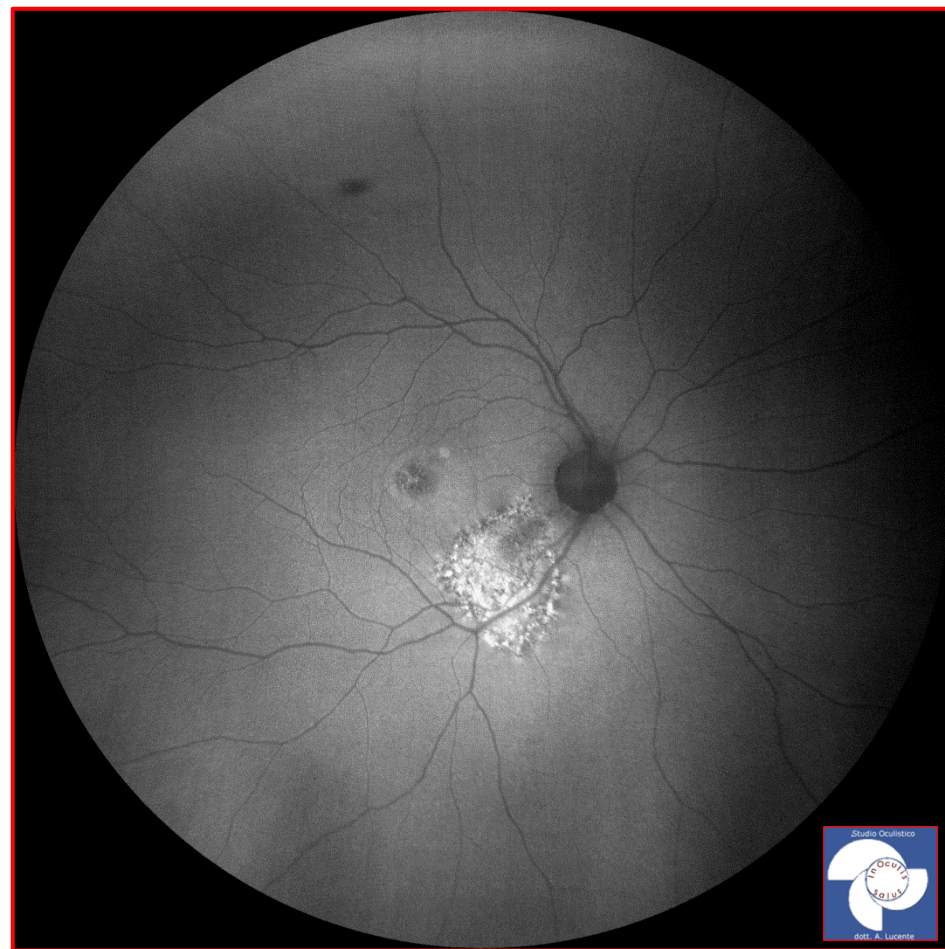
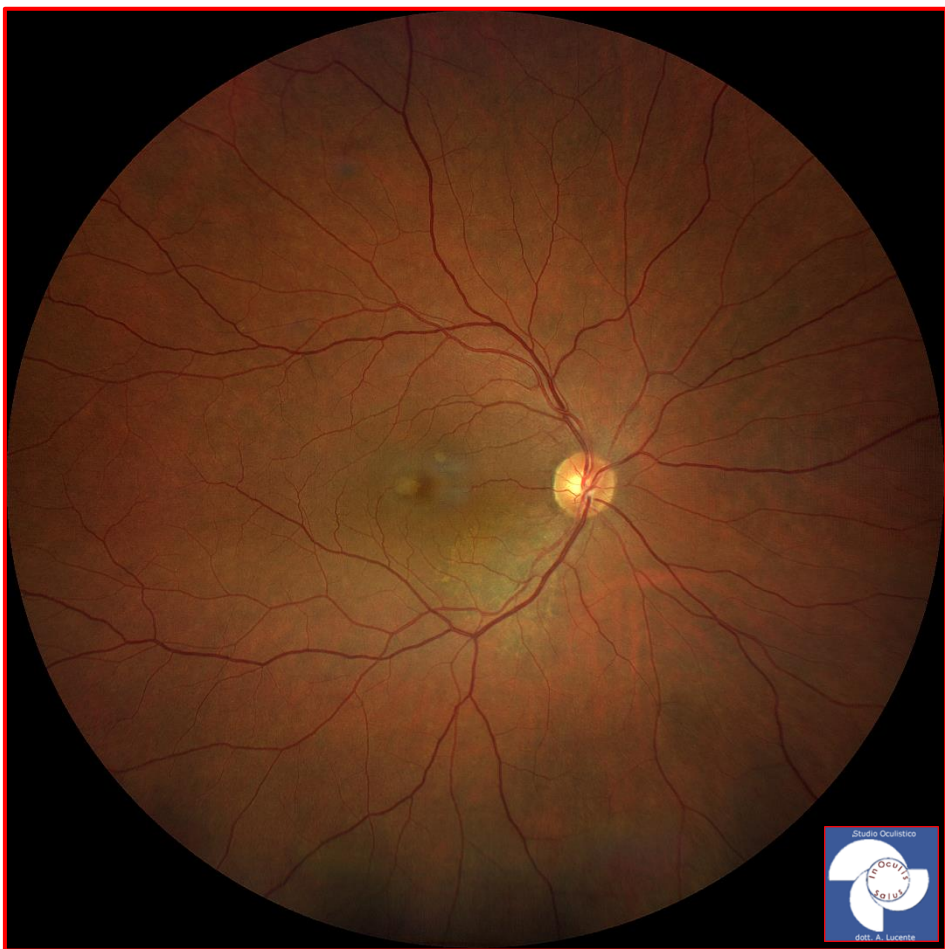
CIRRUS ANGIO  
SW Ver: 10.0.0.14618  
Copyright 2016  
Carl Zeiss Meditec, Inc  
All Rights Reserved  
Pagina 1 di 1





8 mm x 8 mm

FM RD Angio OD 01/2018





Name:

Sierosa

ID:

12/11/1965

Exam Date:

03/10/2018

CZMI

DOB:

Gender:

Male

Exam Time:

15:45

Serial Number:

5000-6254

Technician: Operator, Cirrus

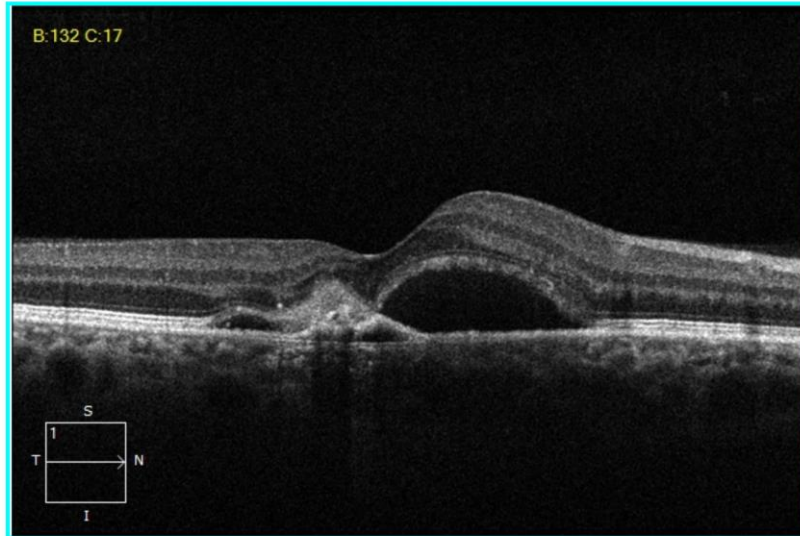
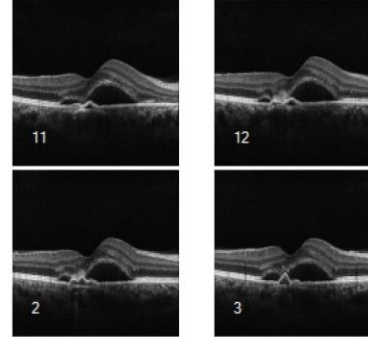
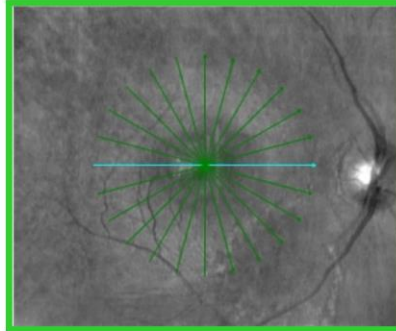
Signal Strength: 7/10



High Definition Images: HD Radial

OD  OS

Length: 6 mm



Comments

Doctor's Signature

CIRRUS ANGIO  
SW Ver: 11.0.0.29946  
Copyright 2018  
Carl Zeiss Meditec, Inc  
All Rights Reserved  
Page 1 of 1



Name:

Sierosa

OD



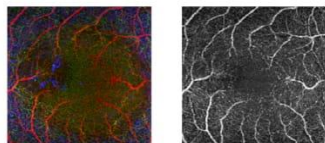
ID: CZMI220218430  
DOB: 12/11/1965  
Gender: Male  
Technician: Operator, Cirrus

Exam Date: 03/10/2018  
Exam Time: 15:47  
Serial Number: 5000-6254  
Signal Strength: 6/10

CZMI

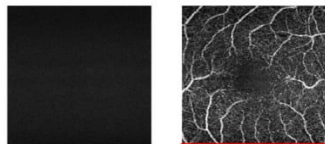
### Angiography Analysis : Angiography 3x3 mm

OD  OS



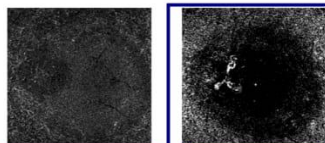
Retina Depth Encoded

Retina



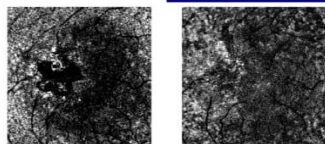
VRI

Superficial



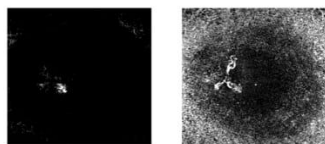
Deep

Avascular\*



Sub-RPE

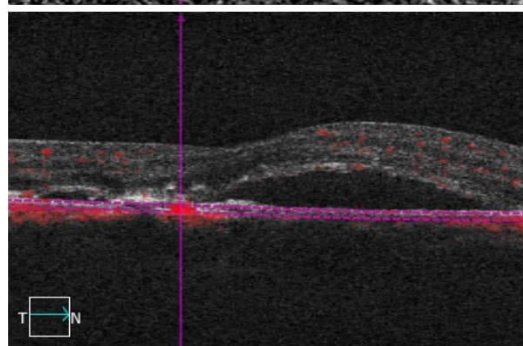
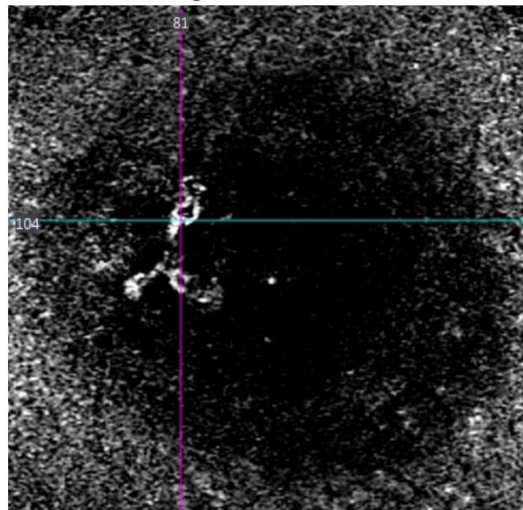
Choroid



RPE-RPE Fit

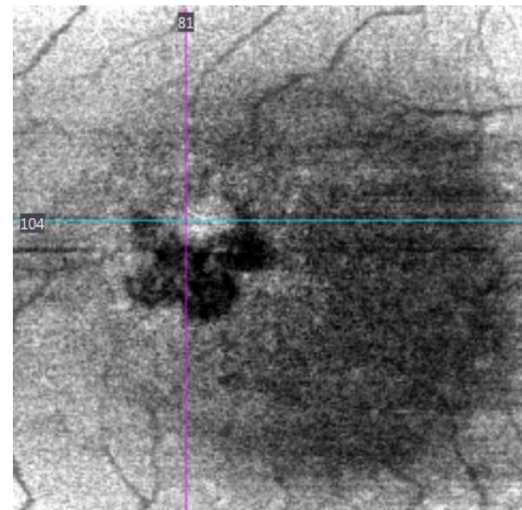
ORCC

#### AngioPlex - Avascular



Slice: 104 Top: OPL+111µ Bottom: RPEFit+41µ

#### Structure - Avascular



Overlays  
Structure - None  
AngioPlex - None

#### Comments

Analysis Edited: 03/10/2018 15:55

#### Doctor's Signature

Tracked during scan

CIRRUS ANGIO  
SW Ver: 11.0.0.29946  
Copyright 2018  
Carl Zeiss Meditec, Inc  
All Rights Reserved  
Page 1 of 1





# CNV Classification based on location by Gass and Freund

- **Type 1: below EPR or Sub-EPR Occulta** (Jung and Freund AJO 2014)

Forma più comune, placca ICG, **anti-vegf +** polipoide, net tra EPR e Bruch, **wider than type 2, avascular zone usually not involved**

- **Type 2: above EPR or Sub-Retinal Classica**, i net penetrano il complesso coroide-Bruch-EPR e proliferano nello spazio sottoretinico al di sopra dell'EPR, + miopia patologica, coroidite multifocale, **anti-vegf - smaller than type 1**, Very heterogeneous shapes **avascular zone always involved.**

- **Type 3: intraretinal RAP** o anastomosi retino-coroideali (RCA) 15% of patients with neovascular age-related macular degeneration, bilateral disease, presence of pigment epithelial detachments, and reticular pseudodrusen, introduced by Freund in 2008 in vivo imaging does not allow us to conclusively rule out **preexisting Type 1** neovascularization or even early RCA; intraretinal anastomosis from the **deep plexus going toward the RPE**.  
YANNUZZI PROPOSED THREE VARIANTS

- **Type 4: mixed 1-2** initially located **below the EPR Type 1**, NV spread out into the outer retina **Type 1** ↔ **Type 2**

- **Filamentous (pachychoroid)NVs** by Warrow DJ. Retina. 2013; **Type 1** (sub-retinal pigment epithelium) associated with choroidal thickening that includes pachychoroid pigment epitheliopathy, central serous chorioretinopathy, and polypoidal choroidal vasculopathy

- **Myopic CNVs** ± 10% ≥ 6 D, 26 mm axial length start **above the EPR Type 2** and penetrate into avascular zone, usually small size, even if they can get to be much bigger

- **Residual flow in fibrosis**

**OCT-A**

**Sensitivity = 81.8%,**

**Specificity = 100%**







Indicazione

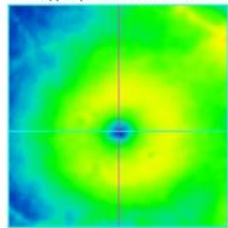


### LB Macula spessori

ID: CZMI710188025    Data esame: 01/03/2018    01/03/2018    Studio Oculistico A. Lucente    ZEISS  
 Data di nascita: 12/02/1952    Ora dell'esame: 11:32    11:35  
 Sesso: Donna    Numero di serie: 5000-6254  
 Tecnico: Angio, Cirrus    Intensità segnale: 7/10    6/10

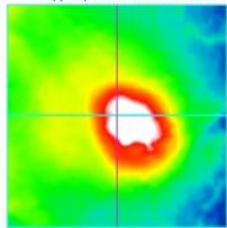
**Spessore maculare OU: Macular Cube 512x128**    OD ● ● OS

mappa spessore OD ILM-RPE

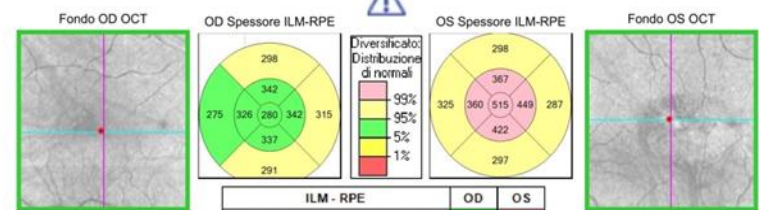
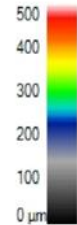


Fovea: 259, 73

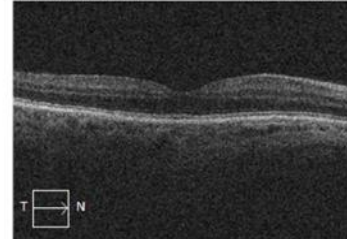
Mappa spessore OS ILM-RPE



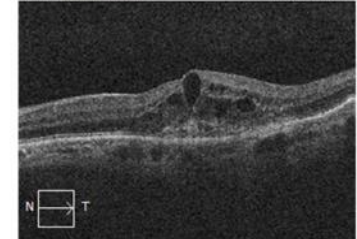
Fovea: Non trovato



Scansione B orizzontale    BScansione: 73



Scansione B orizzontale    BScansione: 64



Commenti

Firma del medico

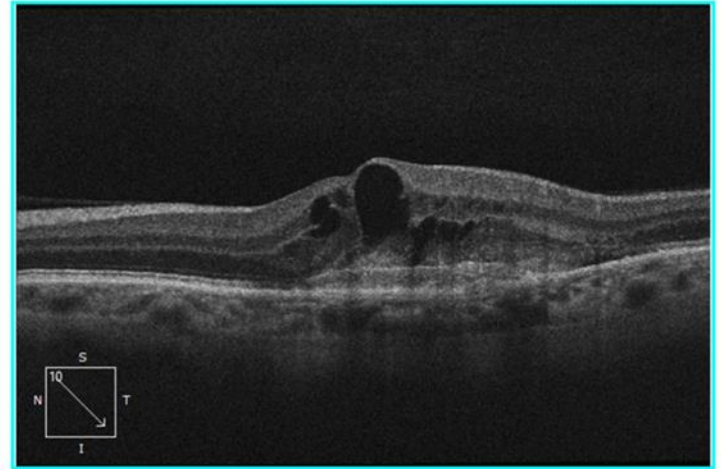
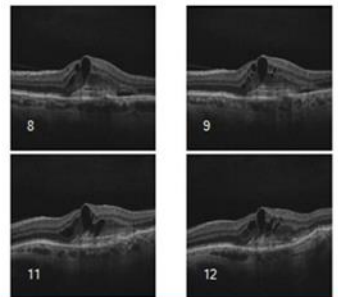
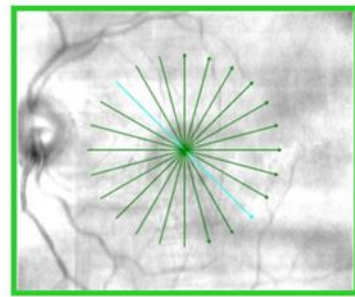
CIRRUS ANGIO  
 SW Ver: 10.0.0.14618  
 Copyright 2016  
 Carl Zeiss Meditec, Inc  
 All Rights Reserved  
 Pagina 1 di 1

### LB line Type 1 occulta

ID: CZMI710188025    Data esame: 01/03/2018    Studio Oculistico A. Lucente    ZEISS  
 Data di nascita: 12/02/1952    Ora dell'esame: 11:36  
 Sesso: Donna    Numero di serie: 5000-6254  
 Tecnico: Angio, Cirrus    Intensità segnale: 6/10

**Immagini ad alta definizione: HD Radial**    OD ○ ● OS

Lunghezza: 6 mm



Commenti

Firma del medico

CIRRUS ANGIO  
 SW Ver: 10.0.0.14618  
 Copyright 2016  
 Carl Zeiss Meditec, Inc  
 All Rights Reserved  
 Pagina 1 di 1



LB Angio Avascolare standard net non ben visibile

Indicazione



ID: CZMI710188025  
Data di nascita: 12/02/1952  
Sesso: Donna  
Tecnico: Angio, Cirrus

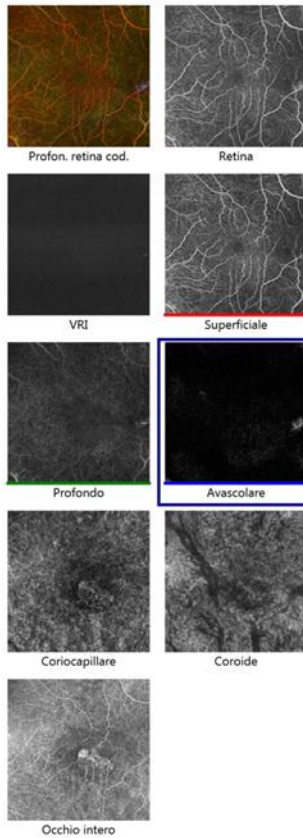
Data esame: 01/03/2018  
Ora dell'esame: 11:37  
Numero di serie: 5000-6254  
Intensità segnale: 6/10

Studio Oculistico A. Lucente

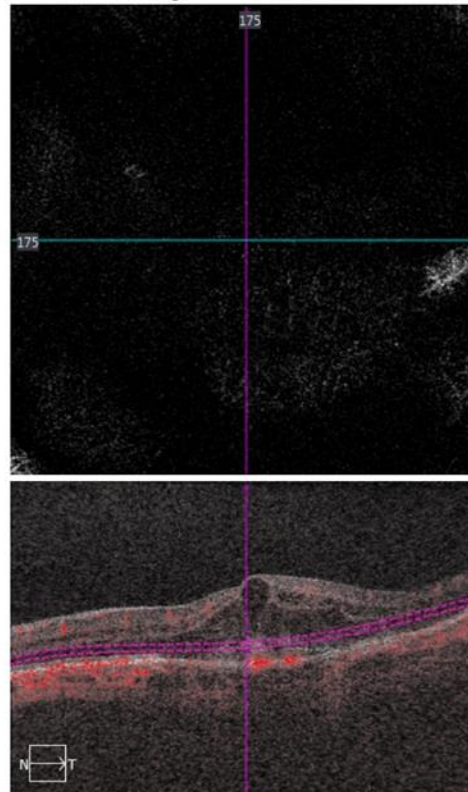


Analisi dell'angiografia : Angiography 6x6 mm

OD  OS

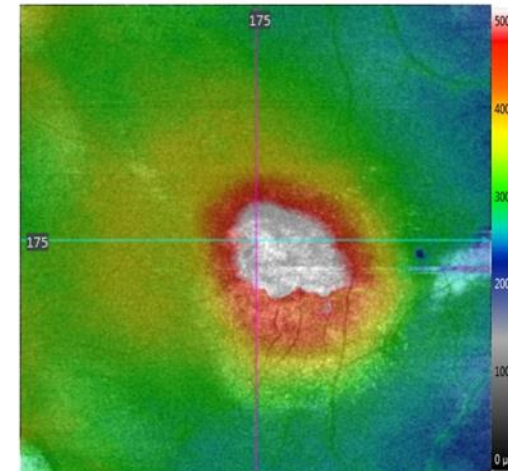


AngioPlex - Avascolare



Segmento: 175 Parte sup.: OPL Parte inf.: RPEFit-70µ

Struttura - Avascolare



Sovrapposizioni  
Struttura - Mappa dello spessore  
AngioPlex - Nessuno

Monitorato durante la scansione

Commenti

Analisi modificata: 01/03/2018 11:43

Firma del medico

CIRRUS ANGIO  
SW Ver: 10.0.0.14618  
Copyright 2016  
Carl Zeiss Meditec, Inc  
All Rights Reserved  
Pagina 1 di 1

LB Angio Modificata CNV visibile

Type 1

Indicazione



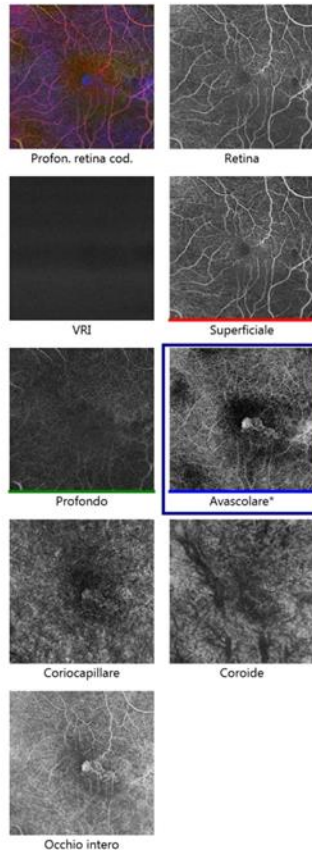
ID: CZM1710188025  
Data di nascita: 12/02/1952  
Sesso: Donna  
Tecnico: Angio, Cirrus

Data esame: 01/03/2018  
Ora dell'esame: 11:38  
Numero di serie: 5000-6254  
Intensità segnale: 5/10

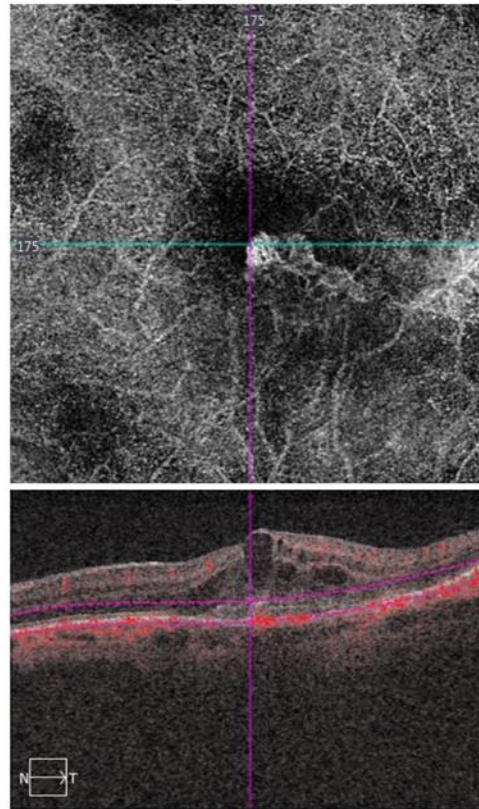


Analisi dell'angiografia : Angiography 6x6 mm

OD   OS

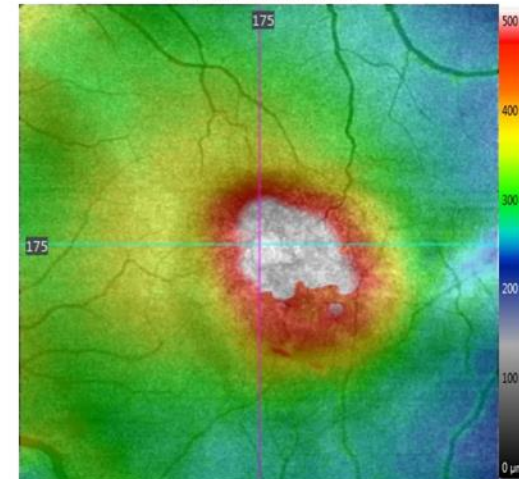


AngioPlex - Avascolare



Segmento: 175 Parte sup.: OPL Parte inf.: RPEFit+22µ

Struttura - Avascolare



Sovrapposizioni  
Struttura - Mappa dello spessore  
AngioPlex - Nessuno

Monitorato durante la scansione

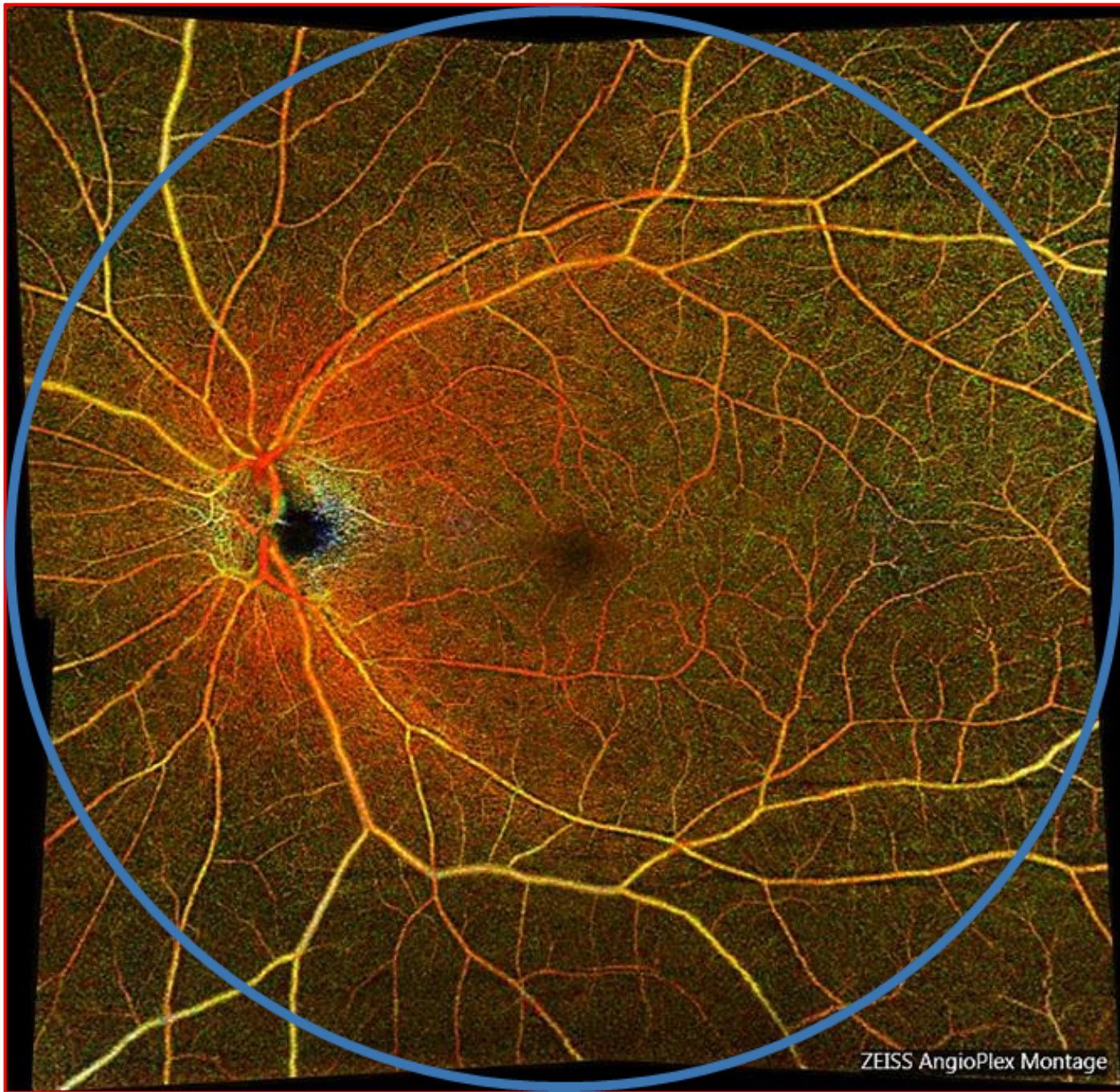
Commenti

Analisi modificata: 01/03/2018 11:45

Firma del medico

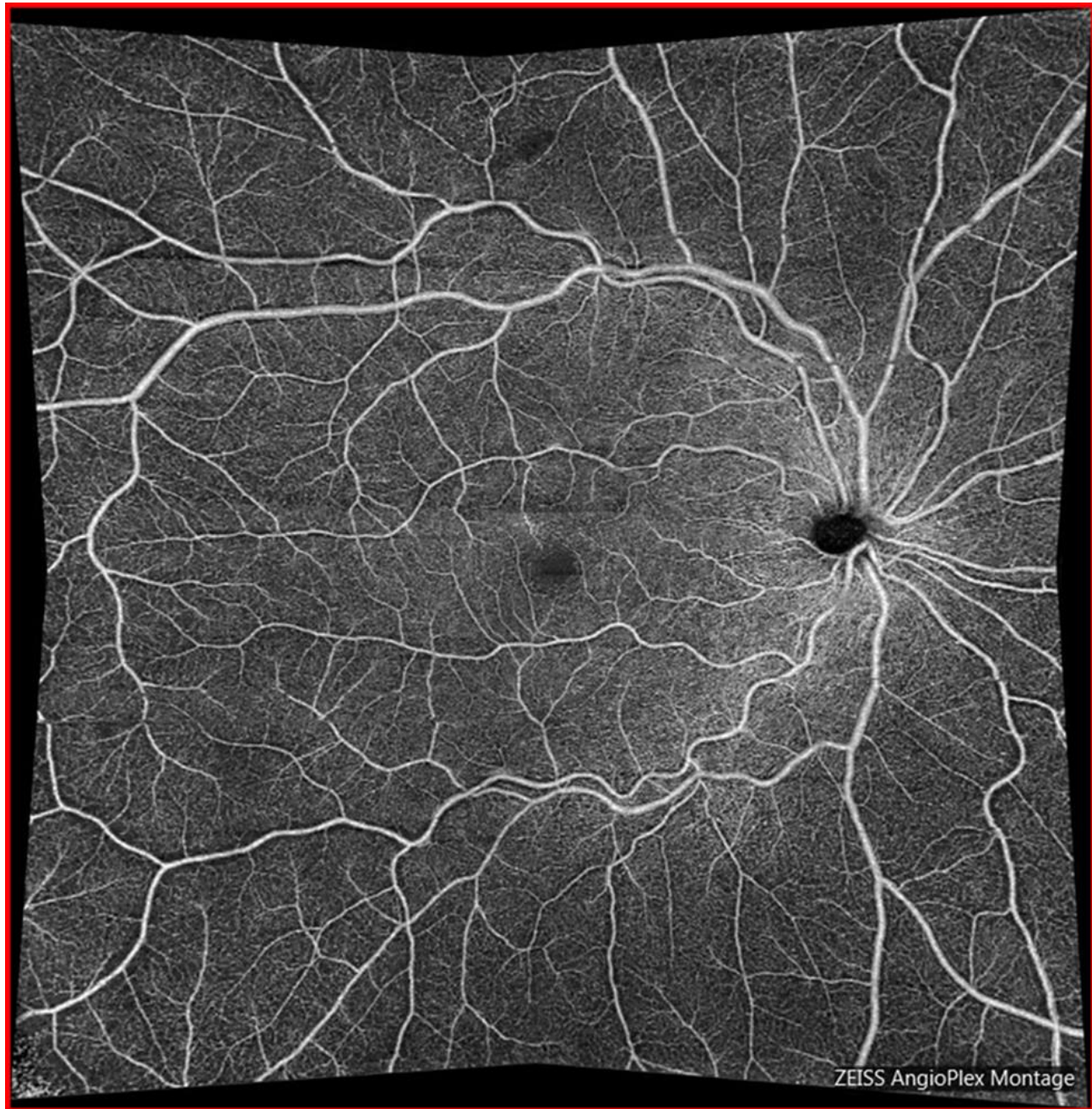
CIRRUS ANGIO  
SW Ver: 10.0.0.14618  
Copyright 2016  
Carl Zeiss Meditec, Inc  
All Rights Reserved  
Pagina 1 di 1





ZEISS AngioPlex Montage





**Montage 5 images 8x8mm with AngioPlex Cirrus Zeiss 5000**

AngioPlex Montage  
See more with  
wide-field OCT  
angiography  
(up to 50 degrees)  
Comparable  
to most traditional  
fundus cameras



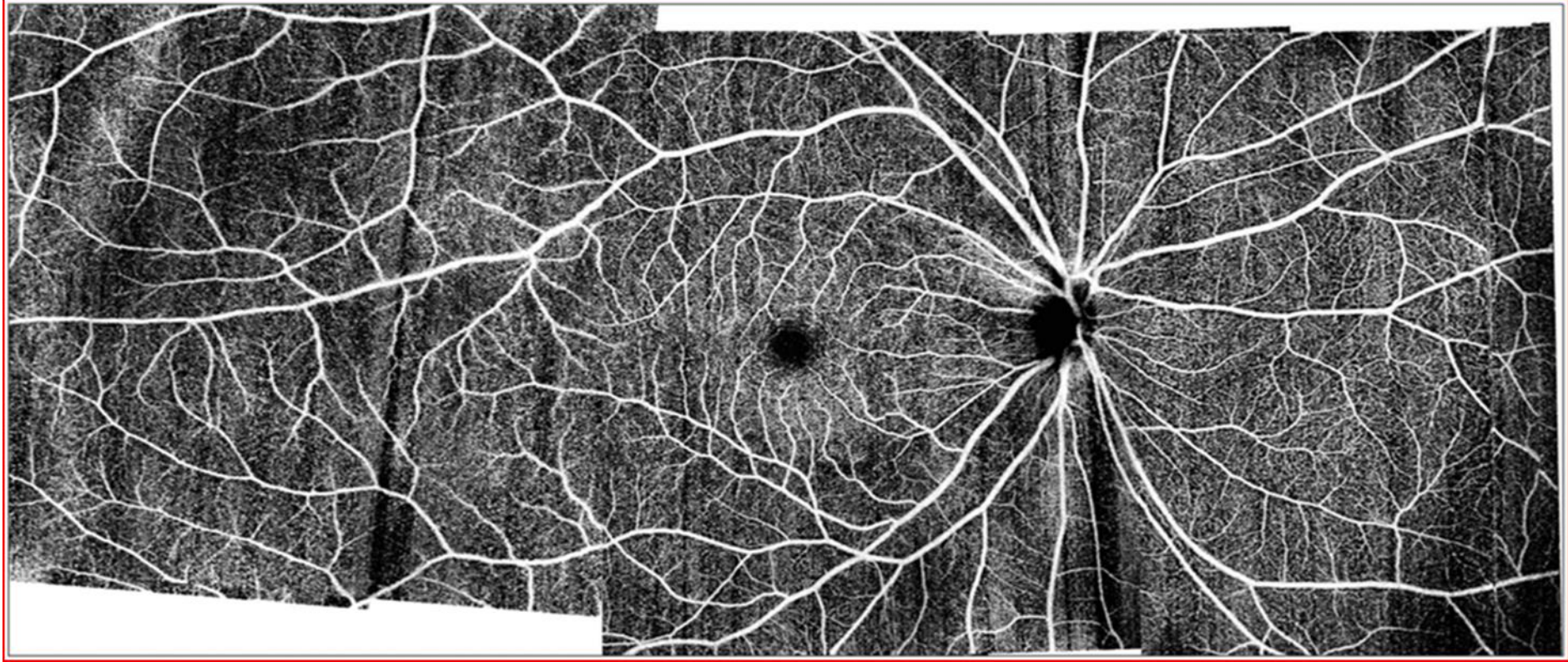






**Montage 6 images 6x6mm with AngioPlex Cirrus Zeiss 5000**





**Ultra-widefield OCT (~20-mm width, 10-mm height, 7-mm depth) 200-kHz Swept-Source OCT System. (by Simon S. Gao et al.)**

**“Any sufficiently advanced technology is indistinguishable from magic.”**

Arthur C. Clarke (1917/2008) was one of the most important and influential figures in 20th century science fiction.





# Widefield and Ultra-Widefield in Ophthalmology



Thank you for your kind attention!



[www.amedeolucente.it](http://www.amedeolucente.it)